

中国图像工程:2006

章毓晋

(清华大学电子工程系, 北京 100084)

摘要 该文是关于中国图像工程的年度文献综述系列之十二。为了使国内广大从事图像工程研究和图像技术应用的科技人员能够较全面地了解国内图像工程研究和发展的现状,并能够方便地查询有关文献,现从2006年国内15种有关图像工程重要中文期刊的共112期上发表的3013篇学术研究和应用技术文献中,选取出711篇属于图像工程领域的文献,并根据各文献的主要内容将其分别归入图像处理、图像分析、图像理解、技术应用和综述5个大类,然后进一步分入23个专业小类(与去年相同)。在此基础上还对这些文献进行了统计和分析。根据统计分析结果可看到我国图像工程在2006年许多新进展的情况。特别值得指出的是,在上述15种期刊上所发表的图像工程文献数量在2006年达到历史最高,显示了图像工程研究在中国继续发展的趋势。

关键词 图像工程 图像处理 图像分析 图像理解 技术应用 综述 统计 分类

中图分类号: TN911 TP391 **文献标识码**: A **文章编号**: 1006-8961(2007)05-0753-23

Image Engineering in China: 2006

ZHANG Yu-jin

(Department of Electronic Engineering, Tsinghua University, Beijing 100084)

Abstract This is the twelfth paper in the survey series of annual bibliographies on image engineering in China. The purpose of this survey is mainly to capture the up-to-date development of image engineering in China and to provide a review which facilitates a quick transition for researchers and editors in related areas. Considering the wide distribution of related publications in China, 711 references on image engineering research and technique are selected carefully from 3013 research papers published in 112 issues of a set of 15 Chinese journals. These 15 journals are considered as important journals in which papers concerning image engineering have higher quality and are relatively concentrated. Those selected references are classified firstly into 5 categories (image processing, image analysis, image understanding, technique application and survey), and then into 23 specialized classes according to their main contents (same as last year). Some analysis and discussions about the statistical methods we used in the process of classifications by journal and by category are also presented. This work shows a general and off-the-shelf picture of the various progresses of image engineering in China. It should be pointed out particularly that, in 2006 the number of research papers for image engineering, published in the above 15 journals entered a new stage in the history. The results indicate the tendency of continuing development of image engineering in China.

Keywords image engineering, image processing, image analysis, image understanding, technique application, survey, statistics, classification

1 引言

图像工程是一个系统地研究运用各种图像理

论、技术和设备的综合学科,主要可分成如下紧密联系又有区别的3个层次:图像处理、图像分析和图像理解^[1]。近年来,图像工程的研究内容越来越深入,与越来越多学科的研究相结合,并得到越来越多

基金项目:国家自然科学基金项目(60573148);教育部高等学校博士学科点专项科研基金项目(SRFDP-20060003102)

收稿日期:2007-03-12;改回日期:2007-04-07

第一作者简介:章毓晋(1954-),男,教授,博士生导师。1989年获比利时列日大学应用科学博士学位。主要研究图像工程及相关教学理论和方法。E-mail: zhangyj@ee.tsinghua.edu.cn

(数学、物理、心理、生理等学科)新理论和电子、计算机等专业学科技术的支持。图像技术的应用范围也已非常广泛,涉及到通信、教育、文档、生物、医学、遥感、测绘、军事、公安、交通、工业自动化和办公自动化等诸多领域。

从 1996 年开始,笔者逐年翻阅前一年发表在国内外一些重要中文期刊上有关图像工程研究应用的文献,并根据其内容进行了分类和统计,撰写成综述性文章(见文献[1]~[12])。这些文章构成了一个中国图像工程的年度文献综述系列。

本文是关于中国图像工程的年度文献综述系列之十二,从 2006 年刊载在国内 15 种重要期刊上的 3013 篇中文文献中(另有 81 篇英文文献未考虑),选出了 711 篇有关图像工程的文献,并对其进行了分类和统计(包括文献选取情况,刊物刊登情况和各类别数量情况),还结合分类和统计结果对 2006 年我国图像工程发展的热点和趋势进行了分析和讨论。

2 综述目的

当去年该文献综述系列进入第 2 个十年时^[11],曾对该文献综述原先的 3 个主要目的^[1-12]进行了讨论。下面仅将各目的的要点和讨论的结果概述如下:

(1) 概括我国图像工程发展现状

众所周知,期刊是一类独具特色的信息载体。由于一门学科的重要期刊一般均刊载大量相关学科的信息,且水平较高,能够反映该学科的最新研究成果、进展以及前沿动态^[13],因此通过对有关图像工程重要期刊上刊载文献的统计分析,不仅可以帮助人们了解我国图像工程研究和应用的总体情况,还能够为制定学科发展方向和研究策略提供科学的依据。

经过十多年的工作,这个目的仍没有改变。事实上,科技界对期刊的关注和重视更加强了,期刊文献对图像工程研究和应用的牵引指导作用更大了。同时由于本综述系列对学科发展趋势的分析判断与实际情况吻合^[14],且也在多年实践中得到了验证^[11],所以本文文献综述系列的这个目的是达到了,而且会继续起到它的作用。

(2) 便利从事图像工程研究和图像技术应用的人员查阅有关文献

一门学科的重要期刊一般是受到该专业读者特别关注的期刊^[13]。因为作为一门比较新兴的学科,图像工程内容新,覆盖面广,有关文献的内容涉及领

域宽,文献的分布也比较广,所以通过对重要期刊上有关文献的归纳分类可以方便研究应用人员进行文献查阅,定期掌握专业动向,以达到共同发展我国图像工程事业的目的。

随着近年许多期刊上网,人们常借助关键词来搜索相关文献,而不再有规律地翻阅刊物。从这个角度来说,该系列帮助人们选择刊物的目的有一定的变化。然而需要指出的是,由专业人员通过阅读文献实现的归纳分类要比仅用关键词进行搜索准确可靠,特别是由于不同领域的作者有一些惯用的表述方式,使得许多技术内容相近的文献不能用同一个关键词来搜索,而用同一个关键词搜索到的文献在内容上常有很大的离散性。因此对希望定期掌握专业动向的人员来说,该综述所提供的统计信息在查阅文献时仍有用且可靠。

(3) 提供期刊编者和文献作者有用的参考信息

由于对期刊文献的统计结果可反映出当前有关该学科信息在各期刊中的分布状况^[13],因此对期刊的编者来说,据此可了解学科的进展情况,从中确定期刊的学术地位、作用和发展策略;对文献的作者来说,由于发表科研文献的主要目的是宣传研究成果,促进技术交流,因此要关注刊物的学术权威性和领域重点,而本工作可对投稿起参考和导向作用。

这里参考信息是向两方面的人提供的。从期刊编者的角度来说,该综述仍有助于确定期刊的学术地位、作用和发展策略。但从文献作者的角度来说,由于期刊上网和读者查阅期刊文献方式的变化,读者在查阅文献时并不一定首先注意到刊物的学术权威性和覆盖的专业领域,而作者在投稿时也会受到其他因素的影响。不过从深一些的层次思考这个问题,期刊文献总是由同行或相近专业人员评审后才得以发表的。由于历史的原因和刊物的性质,各刊物的审稿人还有许多专业特点,或者说他们的研究领域还是有所侧重的。如果投稿者考虑到上述情况,选择恰当的刊物,就有望使稿件得到密切相关领域专家的评审,反馈的信息将会更有意义。另外,该工作对揭示我国图像工程科技人员的水平、现状和变化的研究也打下了很好的基础^[15]。

3 刊物选取

图像工程涉及范围广泛,研究发展迅速,相关刊物比较多,文献分布也比较广。在过去十多年中,综

述对刊物选取的基本原则一直保持一致^[1-12],主要是:

(1) 读者较多:均为发行较广泛的国内中文一次文献期刊;

(2) 水平较高:多为一级学会的会刊,其他也是相关专业领域中重要的二级学会会刊;

(3) 信息较多:指刊物内有关图像工程的文献比较集中,一般平均每期多在两篇以上。

根据上述原则选出并认定的15种刊物被称为中国图像工程重要期刊^[5]。本综述系列也一直选取这些期刊作为文献源^[1-12]。近年来,随着图像工程的迅速发展,相关的新刊物时有出现,而且一些原来侧重于其他研究领域和专业方向的期刊上也开始刊登了不少有关图像工程的文献。但是考虑到本综述系列的连续性和统计的一致性,以及这些刊物本身的发展情况,今年所选取的期刊仍与历年本综述系列选取的期刊完全相同^[1-12],其刊名仍根据所给的缩写代号统一按拼音顺序排列如表1所示。

表1 刊物名称和代号表

Tab.1 Selected journals and their abbreviations

序号	代号	刊物名称
1	[CT]	《CT理论与应用研究》
2	[CX]	《测绘学报》
3	[DC]	《电子测量与仪器学报》
4	[DX]	《电子学报》
5	[DxX]	《电子与信息学报》
6	[JX]	《计算机学报》
7	[MR]	《模式识别与人工智能》
8	[SC]	《数据采集与处理》
9	[TX]	《通信学报》
10	[XC]	《信号处理》
11	[YX]	《遥感学报》
12	[ZS]	《中国生物医学工程学报》
13	[ZTi]	《中国体视学与图像分析》
14	[ZTu]	《中国图象图形学报》
15	[ZX]	《自动化学报》

与去年相比,这15种刊物虽由多个不同单位(学会或机构)主办,但均基本保持了原来的覆盖领域和出版风格。除《模式识别与人工智能》仍仅有印刷版外,其余14种刊物上的文献都可以通过中国期刊网或万方数据库查到全文。

4 文献选取和分类

只从上述15种重要期刊上选取了其中有关图像工程的文献,其选取的基本原则与本综述系列的前11年的原则^[1-12]仍一致,这些原则主要是:

(1) 以中文发表的(各刊上用英文写的文献和直接翻译自外文的译文没有参与统计)、主要报道国内工作的文献;

(2) 属于学术论文、研究简报、研究通信、技术应用等介绍图像工程研究成果与应用进展的文献(没有包括普及类和讲座类的文献);

(3) 作为年度综述系列,只选取在2006年出版的期刊(除去增刊^[3])上发表的文献。

图像工程文献涉及内容多,覆盖面广,合理的文献分类方案至关重要。这里仍采用了本综述系列一贯的分类方案,即首先把所有文献分成图像处理、图像分析、图像理解、技术应用和综述评论五大类;然后在每大类中再根据文献内容的主要技术特点或应用领域进一步分成小类^[1-12]。本综述系列前五年均包含18个小类^[1-6],考虑到进入新世纪后图像工程研究出现的一些新热点,从对2000年的综述开始,在继承本系列分五大类的格局基础上,在图像处理、图像分析和图像理解3大类中每类各增加了1个小类(分别为A5, B5, C4),所以本综述系列第2个五年中均有21个小类^[7-11]。从对2005年的综述开始,本系列进入又一个十年,结合图像工程研究和应用的进展在图像处理和图像理解两大类中每类各增加了1个小类,达到了23个小类^[12]。本文与去年相同,也分23个小类,对文献的分类情况和各类所用代号如表2所示。

5 文献分类统计结果和讨论

根据上述的刊物和文献选取原则,从2006年出版的15种期刊(共112期)上所发表的3013篇文献中,选出了与图像工程有关的711篇文献。然后,根据表2所列的文献分类方案将这些文献全部分到五个大类,并进一步分到23个小类中。需要指出的是,虽然有些文献的内容可能与几个小类均相关,但一般根据该文献的主要研究内容或主要技术观点而仅归入一个小类(概括不同大类的综合文献都归在E类和E1小类中)。下面从粗到细分3种情况(3个

表 2 文献分类表

Tab. 2 Classification scheme for publications

大类	名称	小类	名称和主要内容
A	图像处理	A1	图像采集(包括各种成像方法、获取及存储、摄像机校正等)
		A2	图像重建(从投影等重建图像)
		A3	图像增强和恢复等(包括变换、滤波、复原、校正等)
		A4	图像(视频)压缩编码(包括算法研究、国际标准实现等)
		A5	图像数字水印和图像信息隐藏
		A6	图像多分辨率处理(超分辨率重建、图像分解和插值、分辨率转换等)
B	图像分析	B1	图像分割和边缘检测
		B2	目标表达、描述、测量(包括二值图处理等)
		B3	目标特性(颜色、形状、纹理、空间、运动等)的分析
		B4	目标检测和识别(目标 2-D 定位、提取和分类等)
		B5	人体生物特征提取和验证(包括人脸和器官的检测、定位与识别)
C	图像理解	C1	图像匹配和融合等(包括序列、立体图的配准、镶嵌等)
		C2	场景恢复(3-D 表达、建模、重构、重建等)
		C3	图像感知和解释(包括语义描述、信息模型、专家系统、机器学习、推理等)
		C4	基于内容的图像和视频检索
		C5	时空技术(3-D 运动分析、姿态检测、对象跟踪、行为判断和理解)
D	技术应用	D1	硬件,系统和快速(/并行)算法
		D2	通信、视频传输(包括电视、网络、广播等)
		D3	文档(包括文字,数字,符号等)
		D4	生物、医学
		D5	遥感、雷达、测绘
		D6	其他(不在以上各类的应用)
E	综述评论	E1	综述(概括图像处理/分析/理解,或综合新技术)

层/级/档)来介绍、分析和讨论分类统计的结果。

5.1 近 12 年图像工程文献选取和分类概况比较

表 3 给出了从综述系列开始以来共 12 年间对前述 15 个刊物所登载的文献的数量(文献总数)、所选取的图像工程文献的数量(选取总数)和选取率以及对所选文献分五大类统计得到的结果,其中,小计和平均都是对 12 年进行的,5 个分类栏中括号内的数据为该类文献数量在(当年)总选取文献数量中所占的比例。

从表 3 的统计数据可以看出以下特点:

(1) 2006 年的文献总数达到历史新高。虽然该年度各刊物的发行频率均没有改变,总期数仍为 112 期,但一些刊物增加了每期页码,使得刊物总容量有所增加。比起 12 年前的 1995 年,文献总数已提高了 3 倍。

(2) 在文献总数继续增加的基础上,从中选取到的图像工程文献总数也又有所增加(选取率基本与去年持平),并且也达到了历史最高。2006 年的选取总数已基本上是 12 年前的 1995 年的 5 倍。可见选取总数比文献总数增加得快许多。这既是图像工程方面的研究成果和投稿数历年都在不断增加的结果,也是图像工程学科蓬勃发展的明证。

(3) 从几个大类文献数量的变化情况来看,2006 年所有五大类的文献数量都比上一年有所增加。但从各类文献所占比例来看,仅图像分析增加得略为突出一些(综述评论类虽比例更高,但统计数量很小,还不足为凭),其余均为略增或略减。从统计的角度看,都没有显著变化,体现出各类领域发展比较稳定的态势。

表 3 近 12 年图像工程文献选取和分类表

Tab. 3 Summary and categorization of image engineering publications over the last 12 years

年度	文献总数	选取总数	选取率(%)	图像处理	图像分析	图像理解	技术应用	综述评论
1995	997	147	14.74	35(23.8%)	52(35.4%)	14(9.52%)	46(31.3%)	
1996	1205	212	17.59	52(24.5%)	72(34.0%)	30(14.2%)	55(25.9%)	3(1.42%)
1997	1438	280	19.47	104(37.1%)	76(27.1%)	36(12.9%)	60(21.4%)	4(1.43%)
1998	1477	306	20.72	108(35.3%)	96(31.4%)	28(9.15%)	71(23.2%)	3(0.98%)
1999	2048	388	18.95	132(34.0%)	137(35.3%)	42(10.8%)	73(18.8%)	4(1.03%)
2000	2117	464	21.92	165(35.6%)	122(26.3%)	68(14.7%)	103(22.2%)	6(1.29%)
2001	2297	481	20.94	161(33.5%)	123(25.6%)	78(16.2%)	115(23.9%)	4(0.83%)
2002	2426	545	22.46	178(32.7%)	150(27.5%)	77(14.3%)	135(24.8%)	5(0.92%)
2003	2341	577	24.65	194(33.6%)	153(26.5%)	104(18.0%)	119(20.6%)	7(1.21%)
2004	2473	632	25.60	235(37.2%)	176(27.8%)	76(12.0%)	142(22.5%)	3(0.47%)
2005	2734	656	23.99	221(33.7%)	188(28.7%)	112(17.1%)	131(20.0%)	4(0.61%)
2006	3013	711	23.60	239(33.6%)	206(29.0%)	116(16.3%)	143(20.1%)	7(0.98%)
小计	24566	5399		1824(33.8%)	1551(28.7%)	781(14.5%)	1193(22.1%)	50(0.93%)
平均	2047	450	21.97	152.0	129.3	65.1	99.4	4.2

5.2 2006年各刊图像工程文献刊载情况

表4给出了对各刊2006年文献选取情况和分五大类统计的具体结果。表4中,选取期数和文献总数的含义一目了然;选取数量是指从文献总数中选取的图像工程文献的数量;选取比例是指从各刊

所选取的图像工程文献数与该刊(所选取的)文献总数的比;文献比例则是指从该刊中选取的文献数在从所有15种期刊中选取的文献总数里所占的比例。另外,表中分类栏按大类分成5列,从中可看出各刊物的主要覆盖领域范围。

表4 各刊2006年图像工程文献选取分类一览表

Tab.4 Summary of selected image engineering publications in 2006 over 15 journals

期刊名称	选取期数	文献总数	选取数量	选取比例 (%)	分类					文献比例 (%)
					A	B	C	D	E	
《CT理论与应用研究》	4	61 ^①	15	24.6	10	2		3		2.11
《测绘学报》	4	70 ^②	16	22.9	5	2	2	7		2.25
《电子测量和仪器学报》	6	142	16	11.3	6	5	1	4		2.25
《电子学报》	12	481	91	18.9	39	20	16	16		12.8
《电子与信息学报》	12	539	79	14.7	33	16	10	20		11.1
《计算机学报》	12	266 ^③	37	13.9	12	14	5	5	1	5.20
《模式识别与人工智能》	6	140	57	40.7	7	33	11	6		8.02
《数据采集与处理》	4	97	22	22.7	8	9	2	3		3.09
《通信学报》	12 ^④	293	14	4.48	7		1	6		1.97
《信号处理》	6	207	37	17.9	12	11	9	5		5.20
《遥感学报》	6	131 ^⑤	40	30.5	11	9	8	11	1	5.63
《中国生物医学工程学报》	6	158	26	16.5	6	10	2	8		3.66
《中国体视学与图像分析》	4	66 ^⑥	17	25.8	6	5	3	3		2.39
《中国图象图形学报》	12	291 ^⑦	226	77.7	74	62	42	43	5	31.8
《自动化学报》	6	71 ^⑧	18	25.4	3	8	4	3		2.53
小计	112	3013	711		239	206	116	143	7	

注:①该刊另有4篇英文文献没有参与统计; ②该刊另有2篇英文文献没有参与统计; ③该刊另有3篇英文文献没有参与统计;
④该刊另有增刊一期没有参与统计; ⑤该刊另有2篇英文文献没有参与统计; ⑥该刊另有2篇英文文献没有参与统计;
⑦该刊另有3篇英文文献没有参与统计; ⑧该刊另有65篇英文文献没有参与统计。

对表4的统计数据可以进行以下几方面的分析:

(1) 在2006年,各刊均没有调整出刊周期,即月刊仍是月刊,双月刊仍是双月刊,季刊仍是季刊,所以统计期数仍为112期。另外,仅有一种刊物出了一期增刊,看来增刊的吸引力正在下降。

(2) 各刊的选取比例给出了2006年这一年度内该刊刊载的有关图像工程文献的相对频度,在一定程度上反映了该刊覆盖专业范围中图像工程学科所占的比例。由表4可见,一直占据榜首的《中国图象图形学报》的选取比例仍最大(接近4/5)。这个事实表明《中国图象图形学报》是图像工程的最专门的刊物。其他选取比例较高的刊物依次为《模式识别与人工智能》、《遥感学报》和《中国体视学与

图像分析》,均超过25%。

(3) 期刊载文量是对科技期刊在科学活动和文献交流中所起作用及其质量进行评价常用的7个指标中的第1个^[16]。表4中各刊的文献比例正对应该刊在(所有刊物的)图像工程文献载文中所占的比例。它们代表了各刊有关图像工程文献的相对集中度,在一定程度上体现了该刊对图像工程发展所起的作用和所做的贡献。从这个意义上讲,这个比例很值得重视。由表4可见,《中国图象图形学报》的文献比例仍与前些年^[3-12]一样保持最大(近1/3)。这说明《中国图象图形学报》在反映我国图像工程领域研究进展,报道该领域科技的成果等方面都起到了重要的作用,并为从事图像工程研究、开发和应用的 人员提供了互相交流的最集中场所^[17]。

其他文献比例较高的刊物依次为《电子与信息学报》、《电子学报》和《模式识别与人工智能》，均为信息领域比较侧重学术研究的刊物。值得指出的是，在过去一年中《计算机学报》和《通信学报》均更关注其本领域的研究，表现在《计算机学报》上的图像工程文献选取数量只有去年的 2/3，而《通信学报》的文献比例降到了所有刊物的最后一位。

(4) 根据文献离散律^[16]，有关某一学科的学术文献会大量地集中在为数不多的刊物上，而其余少量文献则分散在较多的刊物上。从今年的数据看，图像工程文献的分布也符合这个规律。由表 4 中各刊的选取数量或文献比例可见，发表在有最高文献

集中率的前 4 种刊物，即《中国图象图形学报》、《电子学报》、《电子与信息学报》和《模式识别与人工智能》上的有关文献的数量占了所有 15 种刊物有关文献的 63.7%，或者说这约 1/4 数量的刊物发表了近 2/3 数量的文献。

5.3 2006 年各刊图像工程文献详细分类情况

科技论文的发表是科研人员研究成果的一种体现，所以各类文献的数量在相当范围内反映了不同领域相关研究所受到的关注程度，也对研究所取得的成果有一定的衡量作用。表 5 给出对 2006 年各刊所选文献进一步按表 2 所列 23 小类进行分类统计的详细结果。

表 5 2006 年图像工程文献分小类统计细表
Tab. 5 Detailed classifications of selected image engineering publications in 2006 over 15 journals

期刊代号	A1	A2	A3	A4	A5	A6	B1	B2	B3	B4	B5	C1	C2	C3	C4	C5	D1	D2	D3	D4	D5	D6	E1	
[CT]	3	7					1	1									1		1				1	
[CX]	3				1	1	1			1		1	1									4	3	
[DC]	2	1	2	1						2	3	1					2						2	
[DX]		1	15	9	10	4	10		1	4	5	5	1	1	5	4	4	6			2	2	2	
[DxX]	1		13	12	5	2	9		1	3	3	8	1		1		3	5	1			10	1	
[JX]	1		4	2	4	1	6	1	1		6	3	1		1		1	3	1					1
[MR]	3		4				12	1	1	10	9	2			2	4	3				5		1	
[SC]		2	4	1	1		2	2			5	2							2					
[TX]			1	2	4							1					2	3					1	
[XC]	1	1	3	6		1	2		1	6	2	8			1		2	3						
[YX]	9		2				3	1	1	4		7			1							10	1	1
[ZS]	1	3	1	1			9		1			2											8	
[ZTi]	1	2	2		1		3			2		2	1									3		
[ZTu]	8	2	17	22	23	2	23	4	5	14	16	20	6	1	12	3	5	13	7	1	11	6	5	
[ZX]	2			1			1	1	1		5		1			3				1	1		1	
小计	35	19	68	57	49	11	82	11	13	46	54	62	12	4	25	13	20	35	16	15	40	17	7	

为更方便和直观地看出各小类文献数量的分布情况，图 1 给出了以直方图的形式来表示表 5 中 23 小类的分类统计结果。

通过对表 5 和图 1 统计数据分析和与前几年对应数据^[1-12]的比较可以看出：

(1) 与去年相同，在各小类文献数量中排名第 1 的仍是“B1：图像分割和边缘检测”。正如前几年

已讨论过的，对图像分割的研究“经久不衰”，除反映了这个由图像处理进到图像分析的关键步骤在图像工程中所占据的重要位置和在当前图像技术应用中的突出作用外，也在一定程度上表明该方面的工作有相当的难度和挑战性。事实上，尽管对图像分割的研究已取得了许多成果^[18]，但还有许多需要解决的问题，且更广泛的研究正在深入开展^[19]。

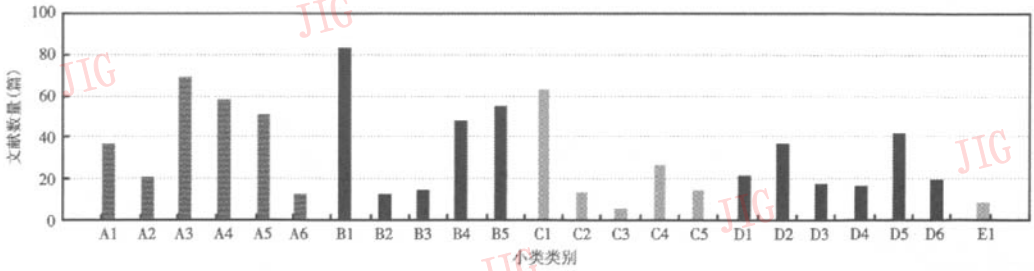


图1 对23小类进行文献分类的结果

Fig.1 Classifications of selected publications in 23 classes

(2) 在各小类文献数量中排名第2和第3的也与去年相同,分别为“A3:图像增强和恢复等”和“C1:图像匹配融合等”。可以说,今年和去年相比,图像工程的主要研究热点没有太大的变化。

(3) 小类“C1:图像匹配融合等”中有许多内容与遥感图像有关,且今年技术应用中小类“D5:遥感、雷达、测绘”的文献数量又一次达到历史新高。综合来讲,遥感图像方面的研究和应用是近年图像工程的一个重点。

(4) 其他小类中,比去年增加最明显的是“B5:人体生物特征提取和验证”。一年增加了2/3还多,已超越了这几年一直上升的“A5:图像数字水印和图像信息隐藏”小类,占据了第5的位置。而“A5:图像数字水印和图像信息隐藏”如去年预测的那样^[12],进一步降到了第6。

(5) 考虑各刊所选图像工程文献的类别,可见所载文献覆盖图像工程所有分支的刊物仅有《中国图象图形学报》。考虑各小类文献在不同刊物中的分布,可见没有一个小类的文献被所有刊物都刊登。上两个结果表明大多数刊物还是有其不同的领域侧重和专业特色的。

6 结论

根据中国图像工程综述系列一贯的期刊选取以及文献选取和分类原则,对2006年在中国图像工程重要期刊上发表的有关文献进行了选取、分类、统计、分析和讨论。从对统计结果的分析以及与综述系列以前相关数据^[1-12]的综合比较可以看出,图像工程的研究和应用在我国又有了许多新的进展。如仅与去年相比,今年主要研究热点没有太大的变化。另外,从该文中除了可以了解当前我国图像工程研

究和应用的总体情况,也可建立对学科的全面认识并找到制定学科发展方向的一些具体依据。

本综述系列除对中国图像工程的发展起到了一定的推动和引导作用外,还促进了一些相关领域综述系列的产生。这个工作对揭示我国图像工程科技人员的水平、现状和变化的研究也打下了很好的基础^[19]。所以,这个工作虽然随着文献数量的增加,工作量也迅速增加,而且需要大量的手工投入(自动化类似工作的尝试表明,尽管其中有些步骤可以借助计算机来进行,但人工的检验和校正对保证质量仍是必不可缺的^[20]),但却是很有意义的。中国图像工程不断发展前进的新“图像”将会继续描绘下去。

参考文献 (References)

- 1 ZHANG Yu-jin. Image engineering in China: 1995 [J]. Journal of Image and Graphics, 1996, 1(1): 78~83. [章毓晋. 中国图像工程: 1995 [J]. 中国图象图形学报, 1996, 1(1): 78~83.]
- 2 ZHANG Yu-jin. Image engineering in China: 1995 (Supplement) [J]. Journal of Image and Graphics, 1996, 1(2): 170~174. [章毓晋. 中国图像工程: 1995 (续) [J]. 中国图象图形学报, 1996, 1(2): 170~174.]
- 3 ZHANG Yu-jin. Image engineering in China: 1996 [J]. Journal of Image and Graphics, 1997, 2(5): 336~344. [章毓晋. 中国图像工程: 1996 [J]. 中国图象图形学报, 1997, 2(5): 336~344.]
- 4 ZHANG Yu-jin. Image engineering in China: 1997 [J]. Journal of Image and Graphics, 1998, 3(5): 404~414. [章毓晋. 中国图像工程: 1997 [J]. 中国图象图形学报, 1998, 3(5): 404~414.]
- 5 ZHANG Yu-jin. Image engineering in China: 1998 [J]. Journal of Image and Graphics, 1999, 4(5): 427~438. [章毓晋. 中国图像工程: 1998 [J]. 中国图象图形学报, 1999, 4(5): 427~438.]
- 6 ZHANG Yu-jin. Image engineering in China: 1999 [J]. Journal of Image and Graphics, 2000, 5A(5): 359~373. [章毓晋. 中国图像工程: 1999 [J]. 中国图象图形学报, 2000, 5A(5): 359~373.]

- 7 ZHANG Yu-jin. Image engineering in China: 2000 [J]. Journal of Image and Graphics, 2001, 6A(5): 409 ~ 424. [章毓晋. 中国图像工程: 2000 [J]. 中国图象图形学报, 2001, 6A(5): 409 ~ 424.]
- 8 ZHANG Yu-jin. Image engineering in China: 2001 [J]. Journal of Image and Graphics, 2002, 7A(5): 417 ~ 433. [章毓晋. 中国图像工程: 2001 [J]. 中国图象图形学报, 2002, 7A(5): 417 ~ 433.]
- 9 ZHANG Yu-jin. Image engineering in China: 2002 [J]. Journal of Image and Graphics, 2003, 8A(5): 481 ~ 498. [章毓晋. 中国图像工程: 2002 [J]. 中国图象图形学报, 2003, 8A(5): 481 ~ 498.]
- 10 ZHANG Yu-jin. Image engineering in China: 2003 [J]. Journal of Image and Graphics, 2004, 9(5): 513 ~ 531. [章毓晋. 中国图像工程: 2003 [J]. 中国图象图形学报, 2004, 9(5): 513 ~ 531.]
- 11 ZHANG Yu-jin. Image engineering in China: 2004 [J]. Journal of Image and Graphics, 2005, 10(5): 537 ~ 560. [章毓晋. 中国图像工程: 2004 [J]. 中国图象图形学报, 2005, 10(5): 537 ~ 560.]
- 12 ZHANG Yu-jin. Image engineering in China: 2005 [J]. Journal of Image and Graphics, 2006, 11(5): 601 ~ 623. [章毓晋. 中国图像工程: 2005 [J]. 中国图象图形学报, 2006, 11(5): 601 ~ 623.]
- 13 LIN Bei-dian, ZHANG Qi-su. A Guide to the Core Journals of China [M]. Beijing: Beijing University Publishers, 1996. [林被甸, 张其苏. 中文核心期刊要目总览 [M]. 北京: 北京大学出版社, 1996.]
- 14 ZHANG Yu-jin. Image engineering in China and some current research focus [J]. Journal of Computer-aided Design and Graphics, 2002, 14(6): 489 ~ 500. [章毓晋. 中国图像工程及当前的几个研究热点 [J]. 计算机辅助设计与图形学学报, 2002, 14(6): 489 ~ 500.]
- 15 ZHANG Yu-jin, LI Rui. Statistical analysis on the authors of paper cited in the survey series "Image Engineering in China" [J]. Journal of Image and Graphics, 2001, 6A(1): 1 ~ 5. [章毓晋, 李睿. 对“中国图像工程”综述系列里文献作者的统计分析 [J]. 中国图象图形学报, 2001, 6A(1): 1 ~ 5.]
- 16 DING Xue-dong. Fundamentals of Literature Metrology [M]. Beijing: Beijing University Publishers, 1993. [丁学东著. 文献计量学基础 [M]. 北京: 北京大学出版社, 1993.]
- 17 ZHANG Yu-jin, HU Feng. Ten years' statistical analysis on the articles and authors of "Journal of Image and Graphics" since its first publication [J]. Journal of Image and Graphics, 2006, 11(1): 1 ~ 7. [章毓晋, 胡峰. 对《中国图象图形学报》创刊 10 年来文章和作者的统计分析 [J]. 中国图象图形学报, 2006, 11(1): 1 ~ 7.]
- 18 ZHANG Yu-jin. Image Segmentation [M]. Beijing: Science Publishers, 2001. [章毓晋著. 图像分割 [M]. 北京: 科学出版社, 2001.]
- 19 ZHANG Yu-jin (ed.). Advances in Image and Video Segmentation [M]. Hershey, USA: IRM Press, 2006.

- 20 Rosenfeld A. Classifying the literature related to computer vision and image analysis [J]. Computer Vision and Image Understanding, 2000, 79(2): 308 ~ 323.

附录 本文统计的文献 (共 711 篇) 分类一览

同类中的文章按作者姓名之拼音排序, 同拼音者再按笔划排序。

为节省篇幅, 作者多于 3 人仅列前 3 人, 刊名用文中缩写代号 (见表 1), 发表年份 (2006) 均省略。

A: 图像处理 (共 239 篇)

A1: 图像采集 (35 篇)

- 蔡文伟, 姜毅, 雷万明. 机载高分辨率 SAR 实时运动补偿的实现. XC, 22(4): 492 ~ 495.
- 陈强, 陈贺新, 李文娟. 基于 3 维矩阵变换的彩色图像质量评价方法研究. ZTu, 11(11): 1732 ~ 1735.
- 陈正超, 罗文斐, 张浩等. 北京一号小卫星多光谱图像波段配准和图像变形评价. YX, 10(5): 690 ~ 696.
- 方全, 方正, 仲爱军等. 锥束微型 CT 图像重建中射线源位置的修正. CT, 15(2): 69 ~ 73.
- 顾光珍, 周雅, 李玉等. 光学透视式头盔显示器标定的退化影响. ZTu, 11(8): 1171 ~ 1174.
- 郭磊, 徐友春, 李克强等. 基于单目视觉的实时测距方法研究. ZTu, 11(1): 74 ~ 81.
- 郭秋艳, 刘鹏飞, 安平等. 基于遗传算法的摄像机自标定方法. ZTu, 11(11): 1712 ~ 1715.
- 何炳蔚. 一种具有自终止特性的视点规划方法. ZTu, 11(12): 1827 ~ 1833.
- 何永勃, 王化祥, 马敏. 高精度人体电阻抗断层成像系统. DC, 20(2): 48 ~ 51.
- 黄风荣, 孙风梅, 胡占义. 基于条件数的摄像机自标定方法的鲁棒性分析. ZX, 32(3): 337 ~ 344.
- 黄立胜, 王贞松. Map Drift 算法在实时成像处理器中的应用. YX, 10(1): 138 ~ 144.
- 李博, 王孝通, 徐晓刚等. 摄像机线性三步定标方法研究. ZTu, 11(7): 928 ~ 932.
- 李清泉, 王植, 李宇光. 基于线结构光的 3 维目标测量与多分辨率建模. CX, 35(4): 371 ~ 378.
- 李小英, 顾行发, 余涛等. 考虑地物 BRDF 特性改进后的 CBERS-02 卫星 CCD 相机的辐射定标系数. YX, 10(5): 636 ~ 643.
- 刘军, 张永生, 王冬红等. INS/DGPS 支持的机载线阵推扫影像几何校正. YX, 10(1): 21 ~ 26.
- 刘双科, 王建飞, 朱彩兰等. 颗粒成像特性的研究. ZTi, 11(1): 45 ~ 48.

- 刘秀芳,刘佳音,洪文. 星载 SAR 图像的定位精度分析研究. YX,10(1):76~81.
 - 罗延钟,万乐. 高密度电阻率法成像. CT,15(1):61~65.
 - 马懿超,戴汝为,王春恒. 一种集成的小型文档图像透视变形校正方法. MR,19(4):503~508.
 - 毛玉星,孙才新. 红外图像多点非均匀校正方法与实时实现. DC,20(6):1~5.
 - 彭智勇,曾庆宁,彭超男. 利用波阵面扩大虹膜采集装置的景深. DxX,28(12):2283~2286.
 - 邵超,黄厚宽,于剑. 基于进化规划的 Markov 随机场参数的估计. MR,19(2):143~148.
 - 邵军明,徐晓东,孔军. CT 成像质量影响因素综述. CT,15(3):61~67.
 - 苏国中,郑顺义,张剑清等. OpenGL 模拟摄影测量方法研究. ZTu,11(4):540~544.
 - 苏连成,朱枫. 一个新的全向立体视觉系统的设计. ZX,32(1):67~72.
 - 谭晓军,余志,李军. 一种改进的立体摄像机标定方法. CX,35(2):138~142.
 - 佟雨兵,张其善,祁云平. 基于 PSNR 与 SSIM 联合的图像质量评价模型. ZTu,11(12):1758~1763.
 - 童晓冲,吴云东,王慧等. 大面阵 CCD 影像多通道不一致性消除算法. CX,35(3):234~239.
 - 王冬红,王番,周华等. SAR 影像的几何精纠正. YX,10(1):66~70.
 - 徐管鑫,何为,罗辞勇. 颅内出血动态过程的电阻抗成像仿真研究. ZS,25(6):641~644.
 - 易维宁,何超兰,乔延利等. CBERS-02 卫星 CCD 图像的大气订正. YX,10(5):703~708.
 - 张兵,张浩,陈正超等. 一种基于图像统计量的相对辐射纠正算法. YX,10(5):630~635.
 - 张鹏强,余旭初,刘智等. 多时相遥感图像相对辐射校正. YX,10(3):339~344.
 - 章国锋,秦学英,董子龙等. 面向增强视频的基于结构和运动恢复的摄像机标定. JX,29(12):2104~2111.
 - 周光明,陈宗海,刘年庆等. 基于主动探测的室内未知环境下移动机器人地图创建算法. MR,19(5):591~597.
- A2:图像重建(19篇)**
- 陈春晓,陶华,王世杰等. 基于图像域的 Ghost 伪影自动相位校正. ZS,25(3):263~266.
 - 陈德运,尹小燕,孙立铸. 电容层析成像系统传感器优化设计及仿真. DC,20(1):22~27.
 - 戴修斌,朱宏擎,舒华忠等. 基于网格的最小交叉熵算法在 PET 图像重建中的应用. DX,34(11):1999~2003.
 - 冯前进,黄鑫,冯衍秋. 基于 Chebyshev 多项式的消除 Gibbs 伪影的快速算法. ZTu,11(8):1132~1138.
 - 高河伟,张丽,陈志强等. 有限角度 CT 图像重建算法综述. CT,15(1):46~50.
 - 高云,胡道予,李震等. 直接投影断层成像技术的实验研究. CT,15(1):42~45.
 - 惠苗,潘晋孝. 锥束/多层螺旋 CT 重建算法在工业 CT 中的应用及对运算速度的研究. ZTi,11(3):163~167.
 - 李亮,陈志强,张丽等. 潘晓川教授的反投影滤波(BPF)的新型重建算法介绍. CT,15(3):68~73.
 - 李真真,杜明辉. 锥形束重构解析算法的研究历程及内在联系. CT,15(4):7~12.
 - 刘国强,王涛,蒙萌等. 用核单元方法求解磁感应成像的正问题. ZS,25(2):163~165.
 - 刘亮,潘晋孝. 半像素错位技术在三维 CT 重建中的应用. ZTi,11(4):303~306.
 - 孟静,王加俊,黄贤武等. 服从传输方程光学层析图像的正则化重建. SC,21(1):6~9.
 - 孙怡,朱佩平,刘明贺等. 硬 X 射线衍射增强峰位成像 CT 的几何失真纠正方法. CT,15(2):13~21.
 - 杨宝强,雷文太. 平面波激励下的二维衍射层析成像算法仿真. SC,21(1):22~28.
 - 杨克桢,叶育盛,余晓涛等. 三维 CT 成像的数学模型. CT,15(1):37~41.
 - 叶恩茂,陈武凡,冯衍秋等. 基于 K 空间对称性的 Ghost 伪影消除方法. ZS,25(6):656~659.
 - 俞明凯,刘力. 图像重建算法 FBP 与 OSEM 在工业 CT 应用对比研究. CT,15(1):56~60.
 - 周健,胡铁宁,罗立民. 基于 Mumford-Shah 正则项与 L^1 数据拟合的 PET 图像重建方法. XC,22(6):835~839.
 - 周健,罗立民,朱宏擎. 一种基于非线性扩散方程的 PET 重建方法. ZTu,11(2):230~234.
- A3:图像增强和恢复等(68篇)**
- 白键,冯象初. 图像处理的一种有限脊波自适应方法. DX,34(6):1058~1061.
 - 蔡利栋. Photoshop 仿真运动模糊的缺陷:分析与处理. ZTi,11(1):59~62.
 - 蔡岭,董方敏,刘勇等. 图像梯度场的 Gamma 混合分布模型及其求解. ZTu,11(12):1750~1757.
 - 曹学光,易沫,汪雪林等. 小波域边缘保持规整化图像复原. ZTu,11(2):224~229.
 - 陈强,戴奇燕,夏德深. 基于 MTF 理论的遥感图像复原. ZTu,11(9):1299~1305.
 - 陈钊,关景火,徐进等. 基于小波分解的电影胶片划痕损伤数字修复技术研究. ZTu,11(11):1695~1699.
 - 储颖,唐超伦,纪震等. 基于直方图信息和灰度偏移网格的数字减影图像灰度纠正算法. DX,34(1):159~162.
 - 盖强,殷福亮. 二维 Hilbert-Huang 变换的分解方法研究. DxX,28(4):610~613.
 - 桂志国,舒华忠,王世杰等. 回波平面成像中基于相位恢复的 ghost 伪影校正. ZTu,11(3):362~366.
 - 黄倩,王岩飞,张冰尘等. 一种新的各向异性扩散 SAR 相

- 干斑抑制算法. *DX*, **34**(9):1553 ~ 1557.
- 黄倩,张冰尘,王岩飞. 一种用各向异性扩散方程抑制 SAR 相干斑噪声的方法. *DxX*, **28**(1):7 ~ 11.
 - 黄翔东,王兆华,李文元. 2 维加窗全相位图像滤波模板的设计. *ZTu*, **11**(6):811 ~ 817.
 - 贾云涛,胡事民. 基于图切分的交互式图像染色算法. *JX*, **29**(3):508 ~ 512.
 - 江巨浪,张佑生,薛峰等. 保持图像亮度的局部直方图均衡算法. *DX*, **34**(5):861 ~ 866.
 - 江玲玲,冯象初. 基于小波变换的非线性尺度扩散方法. *ZTu*, **11**(7):977 ~ 981.
 - 姜东焕,冯象初,宋国乡. 基于非线性小波阈值的各向异性扩散方程. *DX*, **34**(1):170 ~ 172.
 - 李抱朴,桑农,曹治国等. 一种新的血管造影图像增强方法. *DX*, **34**(4):695 ~ 697.
 - 李朝晖,陈明. 应用小波和视觉特征分析的图像增强. *MR*, **19**(2):227 ~ 231.
 - 李翀,顾行发. 基于小波萎缩方法的图像小波去噪的研究. *YX*, **10**(5):697 ~ 702.
 - 李立,彭玉华,杨明强等. Ridgelet 域中基于非参数自适应密度估计理论的图像去噪方法. *DxX*, **28**(12):2273 ~ 2276.
 - 李敏,冯象初,杨文杰. 基于全变差和小波硬阈值的图像去噪. *XC*, **22**(6):917 ~ 919.
 - 李睿,章毓晋,谭华春. 自适应去噪滤波器组合的训练与设计方法. *DxX*, **28**(7):1165 ~ 1168.
 - 李旭超,朱善安. HMM-WC-FNM 模型在触头表面形貌去噪中的应用. *XC*, **22**(1):91 ~ 95.
 - 李旭超,朱善安. 小波域图像降噪概述. *ZTu*, **11**(9):1201 ~ 1209.
 - 李勇,李平,文玉梅. 光学成像系统空间移变降质的最小二乘约束复原. *ZTu*, **11**(8):1180 ~ 1187.
 - 酆苏丹,李广侠. 结合多尺度边缘检测的 SAR 结构邻域滤波方法. *DxX*, **28**(8):1480 ~ 1484.
 - 练秋生,孔令富. 冗余轮廓波变换的构造及其在 SAR 图像降斑中的应用. *DxX*, **28**(7):1215 ~ 1218.
 - 练秋生,孔令富. 圆对称轮廓波变换的构造. *JX*, **29**(4):652 ~ 657.
 - 刘慧娟. 一种快速响应码图像的分割和校正方法. *DC*, **20**(1):32 ~ 35.
 - 刘涛,郭军. 盲图像恢复中的二维盲均衡研究. *DxX*, **28**(6):1013 ~ 1015.
 - 刘英霞,王欣. 最佳软门限去噪. *DX*, **34**(1):167 ~ 169.
 - 孟静,王加俊,黄贤武. 基于耦合梯度神经网络的光学层析图像重建. *DX*, **34**(5):892 ~ 896.
 - 孟志强,王鼎顺,周华安. 小波图像消噪中阈值与信噪比的单峰规律及阈值试探方法. *DC*, **20**(5):63 ~ 67.
 - 倪臣敏,叶燃冬,陈孝春. 一种改进的自适应中值滤波算法. *ZTu*, **11**(5):672 ~ 678.
 - 钱伟新,刘瑞根,王婉丽等. 基于图像特征方向各向异性扩散滤波方法. *ZTu*, **11**(6):818 ~ 822.
 - 谭璐,吴翊,易东云. 基于 LLE 方法的本征维数估计. *MR*, **19**(1):7 ~ 13.
 - 唐金辉,吴秀清,王鹏伟. 基于尺度空间理论和反扩散函数的图像去噪. *SC*, **21**(3):251 ~ 255.
 - 滕升华,谌安军,袁建华等. 一种改进的基于过度分割的图像彩色化方法. *DxX*, **28**(7):1160 ~ 1164.
 - 滕升华,谌安军,邹谋炎. 一种基于拉普拉斯方程的图像彩色化方法. *ZTu*, **11**(4):545 ~ 548.
 - 万洪林,彭玉华,郭锐. 基于方向的自适应多级中值滤波. *TX*, **27**(4):119 ~ 123.
 - 汪雄良,王正明. 基于 l_1 范数正则化的 SAR 图像目标特征增强. *DxX*, **28**(9):1594 ~ 1597.
 - 王超,陈曦,张红. 一种基于退化模型的高分辨率 SAR 去噪算法. *YX*, **10**(1):27 ~ 33.
 - 王红霞,陈波,成礼智. 互为 Hilbert 变换对的双正交小波构造. *JX*, **29**(3):441 ~ 447.
 - 王洪元,石澄贤,夏德深. 一种混合曲率流图像除噪方法. *MR*, **19**(3):422 ~ 427.
 - 王建勇,周晓光,廖启征. 一种基于中值-模糊技术的混合噪声滤波器. *DxX*, **28**(5):901 ~ 904.
 - 王琦,王岩飞. 动目标合成孔径雷达成像中的多普勒斜率匹配滤波. *DxX*, **28**(9):1586 ~ 1589.
 - 王卫红,秦绪佳. 基于紧支径向基函数内插的图像修复算法. *DxX*, **28**(5):890 ~ 894.
 - 王毅,张良培,李平湘. 各向异性扩散平滑滤波的改进算法. *ZTu*, **11**(2):210 ~ 216.
 - 温才斌,薛斌党,姜志国. 视频信号的 De-interlace 算法分析. *ZTi*, **11**(3):211 ~ 215.
 - 吴显金,王润生. 基于边缘恢复和伪像消除的正则化图像复原. *DxX*, **28**(4):577 ~ 581.
 - 吴亚东,孙世新. 基于二维小波收缩与非线性扩散的混合图像去噪算法. *DX*, **34**(1):163 ~ 166.
 - 向遥,李宏,谢政等. 基于高斯混合模型的区域颜色迁移. *ZTu*, **11**(11):1728 ~ 1731.
 - 肖亮,吴慧中,韦志辉. 面向彩色图像恢复与边缘检测的 Mumford-Shah 推广模型研究. *JX*, **29**(2):286 ~ 295.
 - 谢美华,王正明. 基于边缘定向增强的各向异性扩散抑噪方法. *DX*, **34**(1):59 ~ 64.
 - 徐冠雷,王孝通,徐晓刚等. 基于限邻域 EMD 的图像增强. *DX*, **34**(9):1635 ~ 1639.
 - 徐新艳,彭玉华,李立. 基于非参数自适应密度估计理论的医学超声图像去噪方法. *ZS*, **25**(4):400 ~ 403.
 - 许卫全,陈建辉,徐中佑等. 一种具有高精度运动检测的自适应运动补偿去隔行算法. *XC*, **22**(5):658 ~ 662.
 - 杨晓慧,焦李成,李伟. 基于第二代 bandelets 的图像去噪.

- DX,34(11):2063~2067.
- 喻莉,徐士麟. 视频编码系统中的环路滤波方法研究. ZTu,11(7):933~937.
 - 曾晓丹,周军. 一种从 H.264 视频中快速计算直方图的方法. ZTu,11(11):1623~1626.
 - 张春梅,张太铤,陆从德. 一种能保留图像边缘信息的去噪新方法. ZTu,11(10):1464~1467.
 - 张东波,王耀南,黄辉先等. 基于模糊神经网络的图像融合滤波. SC,21(1):95~98.
 - 张良培,王毅,李平湘. 基于各向异性扩散的 SAR 图像斑点噪声滤波算法. DX,34(12):2250~2254.
 - 周殊,潘炜,罗斌等. 一种基于粒子群优化方法的改进量子遗传算法及应用. DX,34(5):897~901.
 - 朱江兵,许天周,黄春光. 基于偏微分方程的图像盲恢复模型. DX,34(5):887~891.
 - 朱磊,徐佩霞,何佳. 一种高效稳健的差分视频噪声估计算法. SC,21(3):354~358.
 - 朱磊,徐佩霞. 一种视频编码中块效应噪声的估计和抑制策略. SC,21(4):392~397.
 - 朱立新,欧阳晓丽,夏德深. 基于伪线性方向扩散方程的指纹图像增强. MR,19(6):806~811.
- A4:图像(视频)压缩编码(57篇)**
- 常铮,卓力,沈兰荪. 一种高效的运动补偿三维小波视频编码方案. Dxx,28(2):237~241.
 - 邓家先,康耀红. 感兴趣系数图像压缩编码算法. Dxx,28(5):844~847.
 - 冯铨,刘文予,朱光喜. 基于空间相关性的 H.264 快速自适应模式选择算法. TX,27(1):75~80.
 - 千宗良,齐丽娜,朱秀昌. H.264 中基于先验预测的帧间编码模式选择算法研究. Dxx,28(10):1883~1887.
 - 高广春,姚栋栋. 应用于图像的基于提升方法的双自适应小波变换. ZTu,11(2):169~174.
 - 贾克斌,谢晶,方晟. 一种基于自相关法的 H.264/AVC 高效帧内预测算法. DX,34(1):152~154.
 - 姜来,许文焕,纪震等. 模糊强化学习型的图像矢量量化算法. DX,34(9):1738~1741.
 - 金炜,潘英俊,魏彪等. 一种基于 Contourlet 的无表零树图像编码算法. Dxx,28(11):2116~2120.
 - 金智鹏,郁梅,蒋刚毅等. 一种密集相机阵列的低复杂度视频压缩方法. ZTu,11(11):1592~1595.
 - 李建欣,朱日宏,丁绪星. 基于子带四叉树合并的图像位平面编码. ZTu,11(4):458~464.
 - 李平,肖嵩,吴成柯等. 基于 MPEG-4 的视频联合信源信道编码. Dxx,28(6):1049~1053.
 - 李世平,蒋刚毅,郁梅. 快速帧内预测模式选择新方法. DX,34(1):141~146.
 - 李云栋,常青,张其善. 基于运动矢量分布特征的半像素快速搜索算法. XC,22(5):724~727.
 - 李云栋,张其善. 基于联想记忆的彩色图像自适应预测编码方法. XC,22(2):136~138.
 - 李子印,朱善安. 基于运动矢量预测的六边形块运动估计搜索算法. XC,22(2):193~197.
 - 李子印,朱善安. 一种快速高效的部分失真块运动估计搜索算法. ZTu,11(4):480~485.
 - 刘德春. 对偶算法的有效改进. ZTu,11(4):465~468.
 - 刘东华,杨立志,陈益强. 一种用于 AVS-M 视频编码的快速帧内预测模式判断算法. ZTu,11(11):1566~1569.
 - 刘海华,雷奕,谢长生. 基于改进的十字 2 菱形搜索算法的运动估计. SC,21(4):403~408.
 - 刘明,叶正麟,陈作平. 基于自适应分类的快速分形编码方法. ZTu,11(1):128~133.
 - 陆璐,周维. 适用于 H.264 的快速模式选择算法. TX,27(7):117~121.
 - 罗建书,卓红艳,孙蕾. 基于分类和 3D-SPIHT 算法相结合的多光谱图像压缩. Dxx,28(9):1607~1610.
 - 骆政屹,余松煜,宋利等. H.264 可分级扩展技术的介绍和分析. ZTu,11(11):1578~1583.
 - 马义德,齐春亮,钱志柏等. 基于脉冲耦合神经网络和施密特正交基的一种新型图像压缩编码算法. DX,34(7):1255~1259.
 - 倪伟,郭宝龙,丁贵广等. 基于运动矢量场和方向自适应的快速运动估计算法. Dxx,28(12):2277~2282.
 - 秦川,王期中,张新鹏. 一种基于视觉特性的图像摘要算法. ZTu,11(11):1678~1681.
 - 司菁菁,程银波. 基于树形原子字典的匹配跟踪算法. XC,22(6):814~818.
 - 宋彬,常义林,周宁兆. 基于 H.264 帧内预测的快速算法. DX,34(1):31~34.
 - 宋传鸣,王相海. 一种新的小波域视频可分级运动估计方案. JX,29(12):2112~2118.
 - 苏令华,万建伟. 基于小波变换和形状-增益矢量量化的 3 维图像压缩. ZTu,11(11):1610~1613.
 - 孙明,李春升. 基于自适应加权方法的复值 SAR 图像的频域压缩改进算法. Dxx,28(1):12~15.
 - 腾国伟,王国中,张兆扬等. 一种基于自适应阈值的 H.264/AVC 帧内预测模式快速选择算法. ZX,32(4):526~533.
 - 汪洋,卢焕章. 一种基于分类矢量量化器的小目标红外图像压缩方法. XC,22(5):630~634.
 - 王晨,杜建洪. 基于图像修复技术的压缩方法的研究. Dxx,28(5):848~851.
 - 王娜,李霞. 基于内存优化的小波零块嵌入图像编码算法. DX,34(11):2068~2071.
 - 王相海. 图像可分级编码研究进展. ZTu,11(8):1051~1061.
 - 王向阳,左珂可,杨红颖. 一种新的小波域彩色图像压缩

- 编码算法. ZTu,11(3):430~434.
- 吴家骥,吴成柯,吴振森. 三维图像的任意形状 ROI 小波零块压缩编码算法. DX,34(10):1828~1832.
 - 夏杰,侯朝焯. 一种新型的无损视频压缩算法. Dxx,28(3):385~389.
 - 夏金祥,黄顺吉. 改进的四叉树多分辨率的形状编码算法. XC,22(3):361~365.
 - 夏卫平,王贞松,韩冀中. 基于块自适应量化的 SAR 复数图像实时压缩算法. ZTu,11(8):1097~1104.
 - 肖嵩,吴成柯,张方等. 基于 SPIHT 的感兴趣区域的多描述编码. JX,29(1):171~176.
 - 徐平,朱善安,叶旭东. 基于 ISA-DWT 的 MR 图像压缩新算法. ZS,25(3):310~314.
 - 徐平,朱善安. 基于 ISA-DWT 的多个任意形状感兴趣区域编码框架. ZTu,11(10):1426~1430.
 - 徐平,朱善安. 基于 ρ 域源模型的 H.264 宏块行层码率控制算法. ZTu,11(12):1806~1812.
 - 杨春玲,孙亚明,麦智毅等. H.264 帧内编码和 JPEG2000 对静止图像进行编码的性能比较. ZTu,11(3):425~429.
 - 杨付正,常义林,万帅. 基于块编码视频的无参考质量评估. Dxx,28(4):728~731.
 - 杨欣,费树岷,陈丽娟. 基于模拟退火的寻找给定压缩图像的最优小波算法. DC,20(6):64~67.
 - 郁梅,肖方明,蒋刚毅等. 一种宏块分裂的多描述视频编码方法. ZTu,11(4):469~473.
 - 张专成,武国斌,赵怀勋等. 一种基于系数状态表的 SPIHT 图像编码算法. ZTu,11(2):162~168.
 - 赵志杰,林茂六,朱斌等. 一种可伸缩性视频编码的帧速率有效控制方法. ZTu,11(8):1156~1161.
 - 郑红娟,刘波,张鸿宾. 基于小波变换的三维网格感兴趣区域编码. DX,34(4):618~623.
 - 郑伟,刘文耀,王涌天. 一种结合遗传算法和钻石搜索的多模式快速运动估计方法. DX,34(10):1911~1916.
 - 周全,刘文予,崔春晖. 一种低码率下的新型宏块级码率控制算法. ZTu,11(9):1217~1222.
 - 周映虹,马争鸣. 基于上下文建模的分类排序小波图像编码算法. Dxx,28(12):2405~2408.
 - 朱向军,朱善安. H.264/AVC 中计算复杂度可调的快速模式选择算法. ZTu,11(9):1210~1216.
 - 邹晓春,冯燕,赵敬波. 一种块匹配的快速运动估计算法. ZTu,11(7):938~942.
- A5: 图像数字水印和图像信息隐藏 (49 篇)**
- 包先雨,蒋建国,李援. 一种适合于 H.264 实时视频传输的新型加密方案. DX,34(11):2099~2102.
 - 曹华,周敬利,余胜生等. 基于 H.264 低比特率视频流的半脆弱盲水印算法实现. DX,34(1):40~44.
 - 车生兵,黄达,李光. 基于复合混沌的自适应图像加密算法. ZTu,11(11):1557~1561.
 - 陈丹,罗欣,王育民. 一种保持直方图特性的 JPEG 图像掩密算法. Dxx,28(2):252~256.
 - 陈丹,张键红,王育民. 基于主成分分析的泛盲掩密分析方案. ZTu,11(3):394~400.
 - 陈晓苏,刘立刚,卢正鼎. 网络环境下数字图像版权保护安全协议的设计与分析. JX,29(9):1722~1728.
 - 陈真勇,唐龙,唐泽圣等. 以鲁棒性为目标的数字多水印研究. JX,29(11):2037~2043.
 - 戴蒙,林家骏,毛家发. JPEG 二次压缩的分析与检测. ZTu,11(11):1619~1622.
 - 范延军,孙建华,阎晓东等. 一种基于混合混沌序列的图像置乱加密算法. ZTu,11(3):387~393.
 - 冯前进,陈宝剑,杨丰. 基于整数小波变换的医学图像易碎水印方法. ZTu,11(5):736~741.
 - 高琦,李人厚,刘连山. 基于帧间相关性的盲视频数字水印算法. TX,27(6):43~48.
 - 高山青,张士杰,刘铮等. 一种基于四值混沌阵列的数字图像加密算法. ZTu,11(2):244~250.
 - 高鹰,谢胜利. 一种线性混合信号盲提取算法. Dxx,28(6):999~1003.
 - 郭云彪,尤新刚,张春田等. 面向信息隐藏的图像复杂度研究. DX,34(6):1048~1052.
 - 和红杰,张家树. 基于混沌置乱的分块自嵌入水印算法. TX,27(7):80~86.
 - 胡玉平,陈志刚. 用于图像认证的小波域半易损水印算法. DX,34(4):653~657.
 - 黄东平,王道顺,黄连生等. 一种新的 (k, n) 阈值可视密钥分存方案. DX,34(3):503~507.
 - 李春花,卢正鼎. 一种基于支持向量机的图像数字水印算法. ZTu,11(9):1322~1326.
 - 李段,徐刚. 一种 DT-CWT 域内的图像零水印算法. ZTu,11(5):725~729.
 - 李海峰,宋巍巍,王树勋. 基于 Contourlet 变换的稳健性图像水印算法. TX,27(4):87~94.
 - 李扬,樊养余,郝重阳. 基于图像二级置乱的信息隐藏技术. ZTu,11(8):1088~1091.
 - 李智,陈孝威. 小波和余弦变换相结合的灰度图像水印算法. ZTu,11(6):834~839.
 - 刘建东. 一种自适应彩色数字图像盲隐藏方法. ZTu,11(10):1395~1399.
 - 马强,付艳茹. 基于混叠 DCT 频域灰度级盲水印多重嵌入算法. ZTu,11(8):1081~1087.
 - 梅竞晋,张荣,胡洋. 一种可伸缩性视频加密方案. ZTu,11(10):1400~1404.
 - 钱振兴,程义民,王以孝等. 一种图像自嵌入方法. DX,34(7):1347~1350.
 - 史晓非,刘人杰,苗瑞. 一种峭度依赖的参数自适应盲分离算法. Dxx,28(11):2033~2036.

- 谭舜泉, 黄继武, 杨志华. 基于 Hilbert-Huang 变换的 JPEG2000 隐写分析. JX, 29(9):1702~1710.
- 王怀臻, 于盛林, 冯强. 基于细胞神经网络的从阴影恢复形状的新方法. DX, 34(11):2120~2124.
- 王丽, 赵媛媛, 赵耀. 一种抗剪切的鲁棒数字水印. SC, 21(3):330~333.
- 王明祥, 方勇, 胡海平. 基于二维小波变换的独立分量分析方法及其在图像分离中的应用. Dxx, 28(3):471~475.
- 王笋, 徐小双. Hilbert 曲线扫描矩阵的生成算法及其 MATLAB 程序代码. ZTu, 11(1):119~122.
- 王向阳, 郭俊, 侯丽敏. 基于图像特征的数字水印算法研究. ZTu, 11(11):1562~1565.
- 王向阳, 杨红颖, 侯丽敏. 一种用于版权保护的混合域数字图像水印算法. CX, 35(3):240~244.
- 王演, 梁德群, 王彦春等. 基于图像属性的 Coiflet 域数字水印算法. DX, 34(12):2214~2217.
- 王泽辉. 二维随机矩阵置乱变换的周期及在图像信息隐藏中的应用. JX, 29(12):2218~2225.
- 魏正源, 谢维信, 裴继红. 一种空域 DCT 与时域 DWT 相结合的鲁棒视频数字水印算法. ZTi, 11(4):307~310.
- 沃焱, 韩国强, 张波. 基于特征的静态图像内容认证方法. ZTu, 11(7):1036~1042.
- 伍宏涛, 朱柏承, 杨义先. 基于 FFT 域的手机彩信盲检测图像水印. DX, 34(7):1236~1240.
- 向德生, 熊岳山, 朱更明. 基于视觉特性的灰度水印自适应嵌入与提取算法. ZTu, 11(7):1026~1035.
- 向华, 曹汉强, 伍凯宁等. 一种基于混沌调制的零水印算法. ZTu, 11(5):720~724.
- 肖俊, 王颖. 扩展变换抖动调制水印算法中投影向量的研究. ZTu, 11(12):1799~1805.
- 许君一, 熊昌镇, 齐东旭等. 量化水印算法分析. TX, 27(3):15~27.
- 张大奇, 张永红, 康宝生. 基于 RB 曲线融合的数字图像隐藏技术. ZTu, 11(2):235~243.
- 张专成, 张殿富, 闫小萍. 一种鲁棒的基于 DWT 域自适应量化步长的图像盲水印算法. ZTu, 11(6):840~847.
- 周继军, 杨义先. 图像隐写分析中游程检验算法的研究与应用. Dxx, 28(1):154~157.
- 周治平, 康辉, 纪志成. 一种新的基于双伪随机数的图像隐写算法. ZTu, 11(10):1405~1408.
- 周治平, 王永志, 纪志成. 针对 EzStego 隐写图像的检测方法. ZTu, 11(9):1317~1321.
- 朱岩, 杨永田, 冯登国. 多小波变换域内基于扩频和量化的混合水印研究. DX, 34(10):1817~1822.
- A6:图像多分辨率处理(11篇)**
- 范冲, 龚健雅, 朱建军. 一种基于去混叠影像配准方法的 POCS 超分辨率序列图像重建. CX, 35(4):358~363.
- 高健, 茅时群, 周宇孜等. 一种基于映射图像子块的图像缩小加权平均算法. ZTu, 11(10):1460~1463.
- 郭伟, 王士同, 程科等. 视觉采样聚类方法 VSC. Dxx, 28(4):597~602.
- 韩玉兵, 吴乐南. 基于自适应滤波的视频序列超分辨率重建. JX, 29(4):642~647.
- 郎文辉, 江朝晖, 周荷琴等. 区域指导的彩色图像插值. DX, 34(1):35~39.
- 李赣华, 周东翔, 董黎等. 基于角点匹配和纹理映射的前向序列图像插值算法. XC, 22(3):422~426.
- 乔建苹, 刘璐, 闫华等. 基于矢量量化的模糊参数辨识及分辨率增强方法. Dxx, 28(4):592~597.
- 汪雄良, 冉承其, 王正明. 基于紧致字典的基追踪方法在 SAR 图像超分辨中的应用. DX, 34(6):996~1001.
- 张晓玲, 沈兰荪. 一种基于分形码和模型约束的图像放大算法. DX, 34(3):433~436.
- 周亮, 朱秀昌. 基于 Bayesian 理论的压缩视频超分辨率重构算法. ZTu, 11(5):730~735.
- 邹琪, 罗四维, 郑宇. 利用多尺度分析和编组的基于目标的注意计算模型. DX, 34(3):559~562.
- B:图像分析(共 206 篇)**
- B1:图像分割和边缘检测(82篇)**
- 安平, 刘苏醒, 高欣等. 基于视差和阈值分割的立体视频对象提取. ZTu, 11(11):1669~1672.
- 包红强, 张兆扬. 基于时空标记场最大后验概率的多视频对象分割算法. Dxx, 28(2):228~231.
- 曹国, 杨新. 基于水平集方法的航拍图片人工区域的分割检测. MR, 19(4):526~530.
- 陈会勇, 胡玉锁, 陈宗海. 基于恒定曲率变化的主动轮廓模型. ZTu, 11(6):827~833.
- 陈玲, 沈红标, 李威伟等. 改进的图像纹理检索方法在矿石识别中的应用. ZTu, 11(11):1700~1703.
- 陈宁凡, 蔡利栋. 一种基于聚类的消失点自动测量方法. ZTi, 11(1):49~52.
- 陈强, 王平安, 夏德深. 形状统计 Mumford-Shah 模型的 MR 图像左心室外轮廓分割. JX, 29(11):2044~2051.
- 陈秋晓, 陈述彭, 周成. 基于局域同质性梯度的遥感图像分割方法及其评价. YX, 10(3):357~365.
- 陈树越, 王红亮. 反求工程中消除 CT 切片轮廓奇异点研究. ZTu, 11(8):1110~1113.
- 陈薇薇, 刘希顺, 刘安芝. 局部兴奋全局抑制神经元振荡网络在医学图像分割中的应用. ZS, 25(1):51~57.
- 陈燕梅, 张胜元. 基于 AES 的数字图像置乱方法. ZTu, 11(8):1076~1080.
- 陈志彬, 张启辉, 邱天爽等. 医学超声图像分割的一种新方法. ZS, 25(6):650~655.
- 迟健男, 方帅, 徐心和等. 基于多结构元顺序形态变换的灰度图像边缘检测. ZTu, 11(1):41~46.

- 丛琳,沙宇恒,焦李成. 基于免疫克隆选择算法的图像分割. *DxX*,28(7):1169~1173.
- 丛培盛,孙建忠. 分水岭算法分割显微图像中重叠细胞. *ZTu*,11(12):1781~1783.
- 刁麓弘,于斌,李华. 一种基于菲涅尔衍射的边缘检测算法. *JX*,29(12):2138~2142.
- 董银文,郭富,姚俊. 一种从噪声图像中提取边缘的启发式搜索算法. *MR*,19(1):14~19.
- 高贵,计科峰,匡纲要等. 基于各向异性热扩散方程的 SAR 图像分割方法. *XC*,22(1):105~109.
- 高丽,杨树元,夏杰等. 基于标记的 Watershed 图像分割新算法. *DX*,34(11):2018~2023.
- 耿玉亮,须德,冯松鹤. 一种快速有效的视频镜头边界检测方法. *DX*,34(12):2272~2277.
- 管业鹏,顾伟康. 二维场景阴影区域的自动鲁棒分割. *DX*,34(4):624~627.
- 韩冰,高新波,姬红兵. 基于模糊粗糙集的新闻视频镜头边界检测方法. *DX*,34(6):1085~1089.
- 何毅,杨新. 基于 Gabor 特征和增强 Fisher 模型德目标检测和识别. *MR*,19(4):455~461.
- 洪义平,易建强,赵东斌等. 自然图像分割方法及其在目标检测中的应用. *MR*,19(5):658~662.
- 胡晓飞,胡栋. 颅内出血 CT 图像血块的分割算法. *ZTi*,11(3):206~210.
- 胡正平,张晔. 基于 SVM 能量模型的改进主动轮廓图像分割算法研究. *DX*,34(5):930~933.
- 黄贤武,朱莉,仲兴荣等. 一种新的基于时空马尔可夫随机场的运动目标分割技术. *DxX*,28(2):367~371.
- 简江涛,冯煊清,熊进. 点分布模型约束的主动轮廓及其在脑 MR 图像分割中的应用. *ZS*,25(5):513~517.
- 句彦伟,田铮,纪建. SAR 图像无监督分割的空间变化混合 MAR 模型方法. *JX*,29(2):331~336.
- 劳丽,吴效明,朱学峰. 模糊集理论在图像分割中的应用综述. *ZTi*,11(3):200~205.
- 李滔,王俊普,吴秀清等. 后验概率估计及其在核 Logistic 回归的方法. *MR*,19(6):689~695.
- 李映,史勤峰,张艳宁等. SAR 图像的自动分割方法研究. *DxX*,28(5):932~935.
- 李峥嵘,刘晓平,李自元等. 图像分割多阈值法研究. *CT*,15(4):13~17.
- 李政文,王卫卫,水鹏朗. 基于 Mumford-Shah 模型的参数估计和两阶段图像分割方法. *DX*,34(12):2242~2245.
- 刘国才,王耀南. 基于水平集逐层迭代算法的多层 Mumford-Shah 图像分割、去噪与重建模型. *ZX*,32(4):534~540.
- 刘海华,张武,陈心浩等. 基于模糊聚类的运动对象分割算法研究. *DxX*,28(9):1689~1692.
- 刘涵,郭勇,郑岗等. 基于最小二乘支持向量机的图像边缘检测研究. *DX*,34(7):1275~1279.
- 刘华军,任明武,杨静宇. 一种改进的基于模糊聚类的图像分割方法. *ZTu*,11(9):1312~1316.
- 刘阳成,朱枫. 一种新的棋盘格图像角点检测算法. *ZTu*,11(5):656~660.
- 刘洋,李玉山,张大朴. 彩色图像序列中运动目标外轮廓的自动提取. *DxX*,28(9):1550~1554.
- 刘永学,李满春,毛亮. 基于边缘的多光谱遥感图像分割方法. *YX*,10(3):350~356.
- 刘志,徐剑峰,陆宇等. 基于 H. 264 压缩域的实时运动对象分割算法. *ZTu*,11(11):1614~1618.
- 吕庆文,陈武凡. 基于互信息量的图像分割. *JX*,29(2):296~301.
- 罗红根,朱利民,丁汉. 基于主动轮廓模型和水平集方法的图像分割技术. *ZTu*,11(3):301~309.
- 罗诗途,张记,罗飞路等. 基于粗糙集理论的图像分割智能决策方法. *ZTu*,11(1):66~73.
- 马义德,刘映杰,夏春水等. 基于改进模型的 PCNN 动态行为的实验研究. *ZS*,25(5):632~636.
- 芮莉,黄莎白,史泽林等. 一种基于形状约束势能的主动轮廓跟踪算法. *MR*,19(2):161~166.
- 潘晨,闫相国,郑崇勋. 一种分割重叠粘连细胞图像的改进算法. *ZS*,25(4):390~395.
- 潘立丰,王利生. 一种视网膜血管自适应提取方法. *ZTu*,11(3):310~316.
- 彭启民,贾云得. 一种形态学彩色图像多尺度分割算法. *ZTu*,11(5):635~639.
- 孙丰荣,李艳玲,曲怀敬等. 基于活动轮廓模型和边缘对比度特征量的血管内超声图像边缘提取. *ZS*,25(4):385~389.
- 孙伟,王耀南. 基于模糊小波神经网络的磁共振图像分割方法. *ZS*,25(3):267~270.
- 田春娜,高新波. 基于冗余小波变换的相对模糊连通图像交互式分割算法. *DxX*,28(12):2287~2291.
- 王保平,刘升虎,张家田等. 一种基于模糊熵和 FKCN 的边缘检测方法. *JX*,29(4):664~669.
- 王建,周源华. 一种基于宏块类型匹配的镜头切换检测算法. *SC*,21(2):163~167.
- 王鹏伟,吴秀清,张名成. 基于多尺度形态学融合的分水岭图像分割方法. *SC*,21(4):398~402.
- 王平,洪向共,杨华等. 基于彩色图像分割的飞机机头定位方法. *ZTu*,11(11):1716~1719.
- 王小鹏,郝重阳,樊养余. 基于形态学尺度空间和梯度修正的分水岭分割. *DxX*,28(3):485~489.
- 王晓明. 基于局部沃尔什变换的纹理分割方法. *MR*,19(5):663~666.
- 吴健新,李翠华,吴晓昶等. 航拍图像中机场跑道的快速检测. *MR*,19(2):262~265.

- 夏桂松,何楚,孙洪. 一种基于非参数密度估计和马尔可夫上下文的 SAR 图像分割算法. *DxX*, 28(12): 2209 ~ 2213.
 - 徐伟,王期中. 基于视频图像 Harris 角点检测的车辆测速. *ZTu*, 11(11): 1650 ~ 11652.
 - 薛河儒,麻硕士,裴喜春. 一种基于数学形态学及融合技术的彩色图像分割方法. *ZTu*, 11(12): 1764 ~ 1767.
 - 杨东华,李久贤,卞治国. Marr 边缘检测算法的研究. *ZTu*, 11(6): 823 ~ 826.
 - 游培寒,毕笃彦,马时平. 自适应权值调整 GS 图像分割算法. *ZTu*, 11(7): 959 ~ 964.
 - 于林森,张田文. 用于图像分割的滤波 EM 算法. *JX*, 29(6): 928 ~ 935.
 - 余莉,王润生. 图像目标检测的局部条件泄洪算法. *XC*, 22(3): 348 ~ 352.
 - 余鹏,张震龙,侯至群: 基于高斯马尔可夫随机场混合模型的纹理图像分割. *CX*, 35(3): 224 ~ 228.
 - 张光玉,龚光珍,朱维乐. 基于克隆算法的彩色图像边缘检测新算法. *DX*, 34(4): 702 ~ 707.
 - 张俊华,汪源源,施心陵等. 基于边缘流和距离图 Snake 模型分割淋巴结超声图像. *ZS*, 25(5): 532 ~ 537.
 - 张立东,毕笃彦. 一种基于洪水消退模型快速分水岭算法. *MR*, 19(3): 349 ~ 356.
 - 赵前进,胡敏,檀结庆. 图像插值的多结点样条技术. *ZTu*, 11(5): 667 ~ 671.
 - 赵万磊,张学杰. 基于 RB-K 平均带宽设定的 Adaptive Mean Shift. *ZTu*, 11(4): 511 ~ 515.
 - 赵银娣,张良培,李平湘. 广义马尔可夫随机场及其在多光谱纹理影像分类中的应用. *YX*, 10(1): 123 ~ 129.
 - 赵银娣,张良培,李平湘. 一种方向 Gabor 滤波纹理分割算法. *ZTu*, 11(4): 504 ~ 510.
 - 郑昂,王惠南,李远禄等. 基于 Chan-Vese 模型的目标多层次分割算法. *ZTu*, 11(6): 804 ~ 810.
 - 郑昂,王惠南,李远禄. 基于 Chan-Vese 模型的树形结构多相水平集图像分割算法. *DX*, 34(8): 1508 ~ 1512.
 - 周昌雄,于盛林,吴陈. 基于先验知识和区域信息的 Snake 模型图像分割研究. *MR*, 19(2): 257 ~ 261.
 - 周永新,白净. 用于 MRI 脑组织分割的自动模糊连接方法. *ZS*, 25(4): 411 ~ 416.
 - 周则明,陈强,王平安等. 结合统计模型和曲线演化的左心室 MRI 图像分割. *MR*, 19(4): 509 ~ 514.
 - 周则明,尤建洁,范春晖等. 结合水平集方法和形状约束 Snake 模型的左心室 MRI 图像分割. *MR*, 19(6): 782 ~ 786.
 - 朱国普,曾庆双,屈彦呈等. 一种基于 HMRF 模型的无监督图像分割算法. *DX*, 34(2): 374 ~ 379.
 - 点的检测方法. *ZTu*, 11(12): 1839 ~ 1843.
 - 刘文予,白翔,朱光喜. 基于边界曲线演化模型的生长骨架算法. *ZX*, 32(2): 255 ~ 262.
 - 刘相滨,邹北骥,孙家广. 基于边界跟踪的快速欧氏距离变换算法. *JX*, 29(2): 317 ~ 323.
 - 刘阳成,朱枫. 二值图像中直线拟合误差与直线方向的关系. *MR*, 19(5): 680 ~ 684.
 - 鲁继文,张二虎. 基于围线扫描的快速完全欧氏距离变换算法. *ZTu*, 11(6): 872 ~ 876.
 - 梅园,孙怀江,夏德深. 一种基于改进后模板的图像快速细化算法. *ZTu*, 11(9): 1306 ~ 1311.
 - 王连亮,陈怀新. 图像识别的 RSTC 不变矩. *SC*, 21(2): 225 ~ 229.
 - 王毅,郝重阳. 一种排样图像轮廓线生成方法. *SC*, 21(2): 230 ~ 233.
 - 吴宇钦,张丽,陈志强. 基于 GPU 的锥束 CT 体数据等值面重构和显示的改进. *CT*, 15(4): 1 ~ 6.
 - 薛存金,苏奋振,周军其. 最佳结构元素尺寸的自适应确定算法. *ZTu*, 11(3): 317 ~ 324.
 - 张华国,黄韦良. 基于分形的海岸线遥感信息空间尺度研究. *YX*, 10(4): 463 ~ 468.
- B3: 目标特性分析(13篇)**
- 薄华,马缚龙,焦李成. 图像纹理的灰度共生矩阵计算问题的分析. *DX*, 34(1): 155 ~ 158.
 - 陈孝春,叶懋冬,倪巨敏. 一种形状识别的方法. *MR*, 19(6): 758 ~ 763.
 - 崔峰,曹学光,彭思龙. 新的四元数解析信号相位定义. *ZTu*, 11(2): 251 ~ 258.
 - 郭强,杨新,姚丽萍等. 基于椭圆方程的三维心脏超声图像的位移场估计. *ZS*, 25(2): 182 ~ 185.
 - 李金莲,刘晓玫,李恒鹏. SPOT5 影像纹理特征提取与土地利用信息识别方法. *YX*, 10(6): 917 ~ 925.
 - 王嘉,王海峰,刘青山等. 基于三参数模型的快速全局运动估计. *JX*, 29(6): 920 ~ 927.
 - 翁嘉文,钟金钢. 离散栅格 Gabor 小波变换的尺度参数取值方法. *ZTu*, 11(9): 1266 ~ 1270.
 - 徐科,李文峰,杨朝霖. 基于幅度谱与不变矩的特征提取方法及应用. *ZX*, 32(3): 470 ~ 474.
 - 游劲敏,李咸伟,沈红标等. 矿物显微图像中网孔状及针板状成分识别方法研究. *ZTu*, 11(11): 1690 ~ 1694.
 - 张小京,孙万蓉,钟钟辉. 骨髓细胞显微图像的分形特征分析. *ZTu*, 11(5): 624 ~ 629.
 - 张志龙,李吉成,沈振康. 局部傅里叶变换系数各阶矩的纹理鉴别性能分析. *ZTu*, 11(1): 33 ~ 40.
 - 张志龙,沈振康,李吉成. 一组基于广义局部沃尔什变换的纹理特征. *DxX*, 28(6): 1031 ~ 1035.
 - 郑世友,费树岷,袁晓辉等. 基于信号相似的运动估计及其在图像稳定中的应用. *XC*, 22(2): 182 ~ 188.
- B2: 目标表达、描述、测量(11篇)**
- 董妍,高新波,王颖. 一种基于 Top-hat 的乳腺图像中钙化

B4: 目标检测和识别 (46 篇)

- 查宇飞, 张育, 毕笃彦. 基于区域活动轮廓运动目标跟踪方法研究. ZTu, 11(12): 1844 ~ 1848.
- 陈振华, 周锐锐, 毕笃彦. 复杂背景下的红外小目标检测. ZTi, 11(3): 230 ~ 233.
- 程德杰, 李晓峰, 李在铭. 基于场景运动分析的弱小目标形态学检测方法. DC, 20(3): 1 ~ 5.
- 崔林丽, 唐博, 赵忠明等. 一种基于对象和多种特征整合的分类识别方法研究. YX, 10(1): 104 ~ 110.
- 代科学, 李国辉, 涂丹等. 监控视频运动目标检测减背景技术的研究现状和展望. ZTu, 11(7): 919 ~ 927.
- 邓宇, 刘国罡, 李华. 基于视频的杠铃轨迹跟踪与分析系统. ZTu, 11(12): 1813 ~ 1819.
- 高贵, 蒋咏梅, 张琦等. 基于多特征联合的高分辨率 SAR 图像机动目标快速获取. DX, 34(9): 1663 ~ 1667.
- 胡正平, 吴燕, 张晔. 基于迭代顺序滤波于空间约束的可拒识-支持向量机微钙化点检测. DX, 34(2): 312 ~ 316.
- 胡正平, 张晔. 基于可拒识-双层支持向量分类器的微钙化点检测. ZTu, 11(5): 652 ~ 655.
- 李赣华, 刘云辉, 蔡宜平. 一种基于模糊阈值的直线拟合策略在铁路沿线柱体检测及距离估计中的应用. ZTu, 11(8): 1120 ~ 1126.
- 李庆忠, 陈显华, 王立红. 一种视频运动目标的检测与识别方法. MR, 19(2): 238 ~ 242.
- 李香平, 杨兆选. 运用时空域信息优化的虚拟检测线组式视频车辆检测算法. XC, 22(2): 252 ~ 255.
- 刘勃, 周荷琴. 昼夜转换场景中的车辆检测. XC, 22(3): 390 ~ 394.
- 刘思远, 李晓峰, 李在铭. 敏感图像高维特征模糊测度与快速遗传检测. XC, 22(5): 750 ~ 754.
- 刘新海, 方康玲, 吴谨. 工业环境中运动目标检测的模糊自适应高斯背景模型方法. ZTu, 11(8): 1114 ~ 1119.
- 刘新星, 汪增福. 复杂彩色图像中的字符提取算法. MR, 19(6): 771 ~ 775.
- 卢焕章, 汪洋. 面向自动目标识别的图像压缩研究综述. XC, 22(6): 844 ~ 848.
- 卢惠民, 王祥科, 刘斐等. 基于全向视觉和前向视觉的足球机器人目标识别. ZTu, 11(11): 1686 ~ 1689.
- 路威, 余旭初, 刘娟等. 基于分布异常的高光谱遥感影像小目标检测算法. CX, 35(1): 40 ~ 45.
- 吕东辉, 王滨. YCbCr 空间中一种基于贝叶斯判决的皮肤检测方法. ZTu, 11(1): 47 ~ 52.
- 牛铁峰, 沈林成. 基于变形模板的多目标识别与定位. DxX, 28(6): 1026 ~ 1030.
- 孙冲, 程洪, 郑南宁. 一种假设验证框架下的实时道路车辆检测方法. MR, 19(6): 722 ~ 726.
- 汤进, 张春燕, 罗斌. 基于图谱分解和概率神经网络的图像分类. ZTu, 11(5): 630 ~ 634.
- 王长军, 朱善安. 基于统计模型和 GVF-Snake 的彩色目标检测与跟踪. ZTu, 11(1): 13 ~ 18.
- 王洪群, 彭嘉雄, 李玲玲. 基于视觉的无人机着陆时机场标记的检测与识别. MR, 19(6): 764 ~ 770.
- 王璐, 蔡自兴. 未知环境中基于视觉显著性的自然路标检测. MR, 19(1): 100 ~ 105.
- 王平, 张焱, 沈振康. 运动平台成像系统弱目标检测方法. DX, 34(12): 2293 ~ 2296.
- 王琦, 王岩飞. 利用短时 FFT 的距离-多普勒域 SAR 运动目标检测. DxX, 28(4): 628 ~ 631.
- 王伟智, 刘秉翰. 车辆排队长度自动检测新方法. ZTi, 11(3): 216 ~ 221.
- 吴樊, 王超, 张红等. 基于知识的中高分辨率光学卫星遥感影像桥梁目标识别研究. DxX, 28(4): 587 ~ 591.
- 吴宏刚, 李晓峰, 李在铭. 弱小运动目标空时增强检测的仿真研究. DC, 20(6): 16 ~ 20.
- 吴锡生, 王士同. 模糊形态联想记忆网络及其在细胞图像联想识别中的应用. ZTu, 11(10): 1450 ~ 1455.
- 武林, 彭复员, 赵坤. 基于运动特征分析的森林火灾烟云实时检测方法. XC, 22(2): 260 ~ 263.
- 肖梅, 韩崇昭. 室内视频中基于边缘的运动阴影去除算法. MR, 19(5): 640 ~ 644.
- 杨淑莹, 何丕廉. 基于遗传算法的多目标识别实时系统设计. MR, 19(3): 325 ~ 330.
- 袁端磊, 宋寅卯. 基于最优 Gabor 滤波器的织物缺陷检测. ZTu, 11(7): 954 ~ 958.
- 袁杰, 都思丹, 高教堂. 高阶统计量在运动目标检测中的研究. MR, 19(1): 84 ~ 88.
- 张华, 冯象初, 董素媛. 小波变换在仿射不变性目标识别中的应用. MR, 19(2): 192 ~ 195.
- 张锦水, 何春阳, 潘耀忠等. 基于 SVM 的多源信息复合的高空间分辨率遥感数据分类研究. YX, 10(1): 49 ~ 57.
- 张路, 廖明生. 一种顾及上下文的遥感影像模糊聚类. YX, 10(1): 58 ~ 65.
- 张文君, 顾行发, 陈良富等. 基于均值, 标准差的 K 均值初始聚类中心选取算法. YX, 10(5): 715 ~ 721.
- 张翔, 肖小玲, 徐光祐. 模糊支持向量机中隶属度的确定与分析. ZTu, 11(8): 1188 ~ 1192.
- 郑世友, 费树岷, 袁晓辉等. 基于仿射不变量的运动目标遮挡检测和跟踪. XC, 22(3): 434 ~ 439.
- 周寿军, 陈武凡, 冯前进等. 基于概率跟踪的冠状动脉造影图像的血管树提取. DX, 34(7): 1270 ~ 1274.
- 朱双东, 张懿, 陆晓峰. 三角形交通标志的智能检测方法. ZTu, 11(8): 1127 ~ 1131.
- 诸葛斌, 周荷琴. 基于波形形形维数的车牌定位算法. MR, 19(6): 818 ~ 824.

B5: 人体生物特征提取和验证 (54 篇)

- 安高云, 阮秋琦. 一种基于小波分解及鲁棒估计的 ICA 算

- 法及其在人脸识别中的应用. *DX*,34(10):1900~1905.
- 曹林,王东峰,刘小军等. 基于二维 Gabor 小波的人脸识别算法. *DxX*,28(3):490~494.
 - 柴艳妹,赵荣椿. 一种新的基于区域特征的快速步态识别方法. *ZTu*,11(9):1260~1265.
 - 陈锻生,刘政凯. 肤色检测技术综述. *JX*,29(2):194~207.
 - 陈伏兵,陈秀宏,张生亮等. 基于模块 2DPCA 的人脸识别方法. *ZTu*,11(4):580~585.
 - 陈伏兵,韦相和,陈秀宏等. 人脸识别中基于核的子空间鉴别分析. *ZTu*,11(9):1242~1248.
 - 陈桂友,孙同景,雷印胜. 一种基于自适应滤波的指纹图像增强算法. *DC*,20(6):76~80.
 - 陈华杰,韦巍. 基于测地 Gabriel 图的非线性流形判别分析. *DX*,34(8):1405~1409.
 - 陈华杰,韦巍. 一种基于 Real AdaBoost 算法的 EOM 人脸检测方法. *MR*,19(6):812~817.
 - 楚亚蕴,詹小四,孙兆才等. 一种结合方向信息的指纹图像二值化算法. *ZTu*,11(6):855~860.
 - 杜干,朱雯君. 基于局部奇异值分解和模糊决策的人脸识别方法. *ZTu*,11(10):1456~1459.
 - 范斌,汪增福. 一种基于轮廓的人体关节位置确定方法. *MR*,19(1):67~72.
 - 冯志全,孟祥旭,蒋志方等. 连续形变图像的追踪识别算法及其在手势识别系统中的应用研究. *JX*,29(1):153~160.
 - 高林,宋枫溪,杨静宇. 正交化 Fisher 鉴别向量集及其应用. *SC*,21(1):16~21.
 - 高全学,梁彦,潘泉等. SVD 用于人脸识别存在的问题及解决方法. *ZTu*,11(12):1784~1791.
 - 高全学,潘泉,梁彦等. 基于描述特征的人脸识别研究. *ZX*,32(3):386~392.
 - 贺云辉,赵力,邹采荣. 基于核鉴别共同矢量的小样本脸像鉴别方法. *DxX*,28(12):2296~2300.
 - 胡元奎,汪增福. 快速的人脸轮廓检测及姿态估计算法. *MR*,19(5):652~657.
 - 黄申,徐成,屈景辉等. 基于小波理论对掌纹主线提取和修复. *ZTu*,11(8):1139~1149.
 - 李春明,李玉山,张大朴. 一种视频图像序列人脸检测方法. *DC*,20(3):28~32.
 - 李敬文,郭立,刘俊等. 基于步态序列图像的身份确认. *ZTu*,11(7):943~948.
 - 李伟红,陈伟民,龚卫国. 一种人脸特征选择新方法的研究. *DC*,20(2):16~20.
 - 李武军,王崇骏,张炜等. 人脸识别研究综述. *MR*,19(1):58~66.
 - 刘晓旻,谭华春,章毓晋. 人脸表情识别研究的新进展. *ZTu*,11(10):1359~1368.
 - 龙飞,叶学义,李斌等. 基于分块统计量的 Gabor 特征描述方法及人脸识别. *MR*,19(5):585~590.
 - 聂桂军,吴陈,叶锡君等. 基于连续分布方向图和改进的 Poincaré Index 的指纹分类. *DX*,34(5):947~952.
 - 庞彦伟,俞能海,沈道义等. 基于核邻域保持投影的人脸识别. *DX*,34(8):1542~1544.
 - 卿来云,山世光,陈熙霖等. 基于球面谐波基图像的任意光照下的人脸识别. *JX*,29(5):760~768.
 - 邵静,高隽,徐小红. 一种协同模式识别不变性算法. *MR*,19(4):462~468.
 - 宋枫溪,杨静宇,刘树海等. 基于多类最大散度差的人脸表示方法. *ZX*,32(3):378~385.
 - 宋枫溪,张大鹏,杨静宇等. 基于最大散度差鉴别准则的自适应分类算法. *ZX*,32(4):541~549.
 - 田光见,赵荣椿. 基于连续隐马尔可夫模型的步态识别. *ZTu*,11(6):867~871.
 - 田启川,潘泉,程咏梅等. 基于过零检测的虹膜特征提取算法. *DxX*,28(8):1452~1457.
 - 王长军,朱善安. 基于颜色和变形模板的实时人体检测. *ZTu*,11(6):861~866.
 - 王长宇,宋尚玲,孙丰荣等. 一种新的生物特征识别模式——手指背关节皮肤识别. *ZX*,32(3):360~367.
 - 王洪群,彭嘉雄,于秋则. 采用动态 HMM 概率分布模型的人眼精确定位. *ZTu*,11(1):26~32.
 - 王磊,邹北骥,彭小宁等. 一种改进的提取人脸面部特征点的 AAM 拟合算法. *DX*,34(8):1424~1427.
 - 王卫东,郑宇杰,杨静宇. 基于扰动分析的不相关鉴别矢量集优化方法. *MR*,19(3):312~317.
 - 毋立芳,张斯聪,赵晓晴等. 一种人脸姿势估计新方法. *XC*,22(1):61~64.
 - 夏思宇,李久贤,袁晓辉等. 一种改进的自适应肤色检测算法. *SC*,21(2):174~178.
 - 夏思宇,夏良正,金立左. 彩色视频序列图像中的人脸跟踪方法. *ZTu*,11(9):1249~1254.
 - 肖健华. 人脸确认的动态支持向量数据描述方法. *ZTu*,11(1):19~25.
 - 谢永华,杨静宇. 基于自适应网格矢量编码的人脸快速匹配算法. *ZTu*,11(2):197~202.
 - 徐毅琼,王波,李程程. 基于改进的独立分量分析的人脸识别方法. *SC*,21(2):179~183.
 - 杨军,吴晓娟,彭彰等. 基于多区域分割的步态表示与识别算法研究. *JX*,29(10):1876~1881.
 - 杨军,吴晓娟,赵子健等. 基于特征步态的身份识别方法. *XC*,22(3):233~237.
 - 袁晓燕,施鹏飞. 活体虹膜图像的定位与分割. *SC*,21(2):137~141.
 - 张宝昌,陈熙霖,山世光等. 基于支持向量的 Kernel 判别分析. *JX*,29(12):2143~2150.

- 张海军, 穆志纯, 刘克. 基于独立分量分析的人耳图像识别方法. MR,19(5):685~688.
- 赵伟, 穆志纯, 刘克. 基于肤色及轮廓信息的人耳实时跟踪. ZTu,11(7):949~953.
- 郑宇杰, 杨静宇, 吴小俊等. 基于对称 ICA 的特征抽取方法及其在人脸识别中的应用. MR,19(1):116~121.
- 周建中, 何良华. 基于 DWT-DCT-SVM 的人脸表情识别. SC,21(1):64~68.
- 朱海华, 李雅娟, 宋志坚. 基于图像力场转换的耳廓图像识别. ZX,32(4):512~518.
- 朱继玉, 王西颖, 王威信等. 基于结构分析的手势识别. JX,29(12):2130~2137.

C: 图像理解 (共 116 篇)

C1: 图像匹配和融合等 (62 篇)

- 边后琴, 苏剑波. 场景无关约束下的特征匹配算法. ZTu,11(3):342~348.
- 陈富龙, 张红, 王超. 高分辨率 SAR 影像同名点自动匹配技术. ZTu,11(9):1276~1281.
- 陈沛华, 陈晓光. 一种基于奇异点的指纹校准方法. MR,19(2):203~207.
- 陈少辉, 张秋文, 王乘等. 基于亮度相关矩的 MODIS 和 SPOT 影像融合研究. YX,10(1):90~96.
- 陈少辉, 张秋文, 王乘等. 基于自适应加权的 MODIS 和 SPOT 影像融合研究. ZTu,11(3):349~352.
- 陈鹰, 林怡. 基于提升小波的影像变换与匹配. CX,35(1):19~23.
- 邓湘, 唐宇. 电学过程成像的多传感器融合研究. DC,20(2):63~66.
- 邓毅, 林学闯. 一种新的快速立体视觉导航算法. DX,34(11):2090~2093.
- 狄红卫, 韩耀东, 陈木生. 一种自适应的多聚焦图像融合方法. ZTu,11(3):353~356.
- 杜建军, 刘丽, 杨水山. 生成距离图的同心圆窗口矩匹配快速算法. ZTu,11(6):890~892.
- 冯剑, 王珂, 曲涛. 空地数据链系统中图像自动剪切方法研究. YX,10(1):82~89.
- 付朝霞, 韩焱, 刘晓利. 一种新的多聚焦彩色图像融合方法. ZTi,11(3):222~225.
- 高爽, 肖扬. 两种基于灰度相似性测度的超声波图像配准方法的比较. ZTu,11(3):337~341.
- 葛诚, 彭启民, 刘鹏等. 基于多域分析和全局优化的全景图拼接方法. ZTu,11(7):971~976.
- 葛咏, 梁怡, 马江洪等. 遥感影像配准误差传递模型及模拟分析. YX,10(3):299~305.
- 韩玉兵, 吴乐南. 一种视频序列的全景图绘制算法. ZTu,11(5):684~688.
- 何元烈, 陈萍, 田联房等. 基于自由变形法的多模态医学图像的配准与融合. ZS,25(6):672~677.
- 华顺刚, 曾令宜, 耿宗瑛. 一种快速的柱面全景图像拼接算法. SC,21(4):434~438.
- 江和平, 沈振康. 基于单元信息熵矢量特征的图像匹配跟踪算法. XC,22(5):678~682.
- 江和平, 王平, 沈振康. 任意指定地面复杂场景图像目标的去均值相关跟踪算法. XC,22(1):24~27.
- 姜晓红, 戴芬, 姜翰青. 基于能量最小化扩展景深的实现方法. ZTu,11(12):1854~1858.
- 蒋咏梅, 刘伟, 雷琳. 面向桥梁目标自动检测的多源遥感图像融合模型与方法. DxX,28(10):1794~1797.
- 李红, 刘晓华. 基于小波变换和视觉特性的多光谱图像融合. XC,22(1):32~34.
- 李立鸿, 施鹏飞, 赵群飞. 基于多分辨率技术的快速全景图图像匹配算法. ZTu,11(9):1271~1275.
- 李秋华, 王厚生, 邹自力等. 基于小波变换与灰度形态学滤波的双波段红外图像弱目标融合检测. XC,22(3):312~316.
- 李晓明, 赵训坡, 郑链等. 基于 Fourier-Mellin 变换的图像配准方法及应用拓展. JX,29(3):466~472.
- 李晓明, 郑链, 胡占义. 基于 SIFT 特征的遥感影像自动配准. YX,10(6):885~892.
- 李忠新, 刘光杰, 茅耀斌等. 基于块匹配的鲁棒视频图像镶嵌算法. ZTu,11(10):1468~1473.
- 林国余, 张为公. 一种无需基础矩阵的鲁棒性极线校正算法. ZTu,11(2):203~209.
- 林楷渺, 宋巨龙, 宋国乡. 一种新的基于提升多小波变换的图像融合方法. XC,22(5):716~718.
- 刘新刚, 陈武凡, 陈光杰. 基于先验知识和 MRF 随机场模型的医学图像弹性配准方法. ZS,25(2):151~157.
- 马国锐, 李平湘, 秦前清. 基于融合和广义高斯模型的遥感影像变化检测. YX,10(6):847~853.
- 苗启广, 王宝树. 一种自适应 PCNN 多聚焦图像融合新方法. DxX,28(3):466~470.
- 牛铁峰, 沈林成. 基于 IMOPSO 算法的多目标多聚焦图像融合. DX,34(9):1578~1583.
- 裴红周, 陈炜, 毛士艺. 基于小波分解的融合图像评价方法. XC,22(2):268~271.
- 彭景林, 章兢, 李树涛. 基于改进 PV 插值和混合优化算法的医学图像配准. DX,34(5):962~965.
- 邱丹丹, 马洪超, 杨耘等. 基于多源卫星图像融合的水坝检测方法的研究. YX,10(4):449~455.
- 时永刚. 最大化算术-几何均值距离的多传感器遥感图像配准. DxX,28(4):582~586.
- 孙钦鹏, 陈炜, 毛士艺. 一种基于小波变换和图像边缘特征的图像融合方法. XC,22(5):761~764.
- 童晓冲, 张永生, 贲进. 基于遗传算法的影像分级决策融合. YX,10(2):197~203.

- 王博. 频域相关的恒常性特征及其算法研究. ZTu, 11(6):798~803.
 - 王年,范益政,鲍文霞等. 基于图割的图像匹配算法. DX, 34(2):232~236.
 - 王年,范益政,韦穗等. 基于图的 Laplace 谱的特征匹配. ZTu,11(3):332~336.
 - 薛模根,韩裕生,李从利等. 基于区域同名度矩阵的连续帧图像配准. ZTu,11(1):53~59.
 - 杨璋,裴继红,谢维信. 图像插值方法对互信息局部极值的影响分析. DxX,28(10):1782~1785.
 - 杨志,毛士艺,陈炜. 基于多分辨率局部结构化信息熵的鲁棒多模图像融合算法. DxX,28(5):883~889.
 - 杨志,毛士艺,陈炜. 基于局部方向能量的鲁棒图像融合算法. DxX,28(9):1537~1541.
 - 游安清,程义民,张凯等. 一种采用形态距离匹配度量的图像匹配方法. XC,22(2):278~280.
 - 郁梅,董海涛,蒋刚毅等. 多视点视差估计中基于图像块特征矢量和相似尺度的参考视点选择方法. ZTu,11(12):1834~1838.
 - 张焕龙,杨国胜,申晓华. 基于向导矢量场的图像镶嵌算法研究. ZTu,11(11):1665~1668.
 - 张见威,韩国强,沃焱. 基于边界距离场互信息的图像配准方法. TX,27(7):87~93.
 - 张琦,高贵,匡纲要. SAR 图像目标的融合检测方法. DxX,28(10):1802~1805.
 - 张伟,任仙怡,张桂林等. 基于对数极坐标变换和仿射变换的目标识别定位方法. ZTu,11(9):1255~1259.
 - 张新曼,韩九强,王勇. 一种遗传搜索块寻优的不同聚焦点图像融合算法. DxX,28(11):2054~2057.
 - 张煜. 基于遗传算法与模型投影德三维物体匹配. MR, 19(4):520~525.
 - 章卫祥,周秉锋. 一个稳健的用于 HDR 图像的相机响应函数标定算法. JX,29(4):658~663.
 - 郑志彬,叶中付. 基于相位相关的图像配准算法. SC, 21(4):444~449.
 - 周朋,奚日辉,宋玲玲等. 基于小波变换的医学图像融合技术的实现. ZTu,11(11):1720~1723.
 - 周锐锐,陈振华,毕笃彦. 一种基于局部能量的图像融合方法. ZTi,11(3):226~229.
 - 周秀芝,文贡坚,王润生. 自适应窗口快速立体匹配. JX, 29(3):473~479.
 - 朱庆,吴波,万能等. 具有良好重复率与信息量的立体影像点特征提取方法. DX,34(2):205~209.
 - 朱云芳,叶秀清,顾伟康. 视频序列的全景图拼接技术. ZTu,11(8):1150~1155.
- C2:场景恢复(12篇)**
- 白相志,周付根. 形体任意剖面轮廓线的提取方法. ZTi, 11(1):63~66.
 - 陈付幸,王润生. 一种新的消失点检测算法. DxX,28(8): 1458~1462.
 - 成媛媛,满家巨,全惠云. 基于自适应遗传算法的点云曲线重建. ZTu,11(9):1293~1298.
 - 冯志全,孟祥旭,李学庆等. 基于单目体系的可见手重构算法研究. JX,29(3):448~456.
 - 李一波,王扬扬,姬晓飞等. 计算机辅助颅面复原技术研究. ZTu,11(10):1369~1379.
 - 孙风梅,王卫宁. 基于单个平行四边形单幅图像的物体定位. ZX,32(5):746~752.
 - 田庆国,葛宝臻,郁道银等. 一种基于投影的散乱数据表面增量重建算法. ZTu,11(10):1409~1413.
 - 伍春洪,杨扬,游福成. 一种基于 Integral Imaging 和多基线立体匹配算法的深度测量方法. DX,34(6):1090~1095.
 - 伍春洪,游福成,杨扬. 一种基于3维全景图像技术的深度测量方法. ZTu,11(4):563~569.
 - 张维中,张丽艳,王小平等. 基于标记点丢失的多幅自标定图像的3维重建和相机姿态恢复. ZTu, 11(9): 1282~1287.
 - 郑顺义,江雷. 基于可见性约束的自动表面重构算法研究. ZTu,11(10):1414~1419.
 - 郑顺义,孙明伟. 基于物体成像轮廓的视觉测量与重建. CX,35(4):353~357.
- C3:图像感知和解释(4篇)**
- 李若楠,张旭东. 一种用于人工视觉弥补的计算成像模型及其评价. ZTu,11(10):1480~1486.
 - 田媚,罗四维,齐英剑等. 基于视觉系统“What”和“Where”通路的图像显著区域检测. MR, 19(2): 155~160.
 - 王龔,汪增福. 三维场景中遮挡边界与错觉轮廓的感知修复. MR,19(2):137~142.
 - 吴爱民,须德,王海霞等. 基于视觉心理学的物体大小恒常性计算. DX,34(6):1096~1103.
- C4:基于内容的图像和视频检索(25篇)**
- 包倩,郭平. 基于直方图的遥感图像相似性检索方法比较. YX,10(6):893~900.
 - 曹建荣. 一种基于语义的视频场景分割算法. ZTu, 11(11):1657~1660.
 - 程文刚,柳长安,须德. 武打片中的动作场景检测方法. DX,34(5):915~920.
 - 崔晨阳,石教英,王东辉. 几何特征映射下的3维模型相似性匹配研究. ZTu,11(5):661~666.
 - 崔江涛,孙君顶,付少锋等. 二次式距离上基于SVD的高维图像索引方法. ZTu,11(4):498~503.
 - 戴宏斌,张敏灵,周志华. 一种基于多示例学习的图像检索方法. MR,19(2):179~185.
 - 方勇,戚飞虎,冉鑫. 基于窗帧差的镜头边界系数模型及其应用. DX,34(5):810~816.

- 耿玉亮, 须德. 一种鲁棒的摄像机运动分类算法. *DX*, 34(7):1342~1346.
- 黄元元, 何云峰. 一种基于颜色特征的图像检索方法. *ZTu*, 11(12):1768~1773.
- 金莲芳, 覃团发, 王海霞等. 基于结构量化直方图的图像检索方法. *ZTu*, 11(2):180~185.
- 雷震, 谢毓湘, 吴玲达等. 一种基于 TSP-KNN 的事件相关故事单元检索算法. *XC*, 22(5):755~760.
- 李清勇, 胡宏, 施智平等. 基于纹理语义特征的图像检索研究. *JX*, 29(1):116~123.
- 李宗民, 于广斌, 刘玉杰等. 三维极半径矩及其在三维模型检索中的应用. *MR*, 19(3):362~367.
- 刘跃虎, 王飞, 刘晓东等. 一种特征矩阵的相似性度量方法及其在图像检索中的应用. *MR*, 19(4):497~502.
- 陆伟, 倪林. 利用颜色和熵提取感兴趣区域的感性图像检索. *ZTu*, 11(4):492~497.
- 钱学明, 刘贵忠. 基于 GA 的压缩域中全局运动估计及在字幕遮挡区域恢复中的应用. *DX*, 34(10):1920~1924.
- 茹立云, 马少平, 路晶. 基于 Boosting 学习的图片自动语义标注. *ZTu*, 11(4):486~491.
- 石旭利, 肖广, 羊子榕等. 改进的多分辨率形状匹配算法研究. *ZTu*, 11(11):1661~1664.
- 孙慧平, 刘党辉, 沈兰荪. 基于 DCT 压缩域的快速字符定位算法研究. *DX*, 34(4):751~754.
- 王进, 陈思红, 施德明等. 一种基于语义相似度德信息检索方法. *MR*, 19(6):696~701.
- 王向阳, 杨红颖, 胡峰丽. 基于感兴趣区的小波域彩色图像检索新方法. *ZTu*, 11(2):175~179.
- 王勇, 李建彬, 胡德文等. 一种基于学习的视频字幕验证方法. *ZTu*, 11(11):1645~1649.
- 吴楠, 宋方敏. 一种基于图像高层语义信息的图像检索方法. *ZTu*, 11(12):1774~1780.
- 徐艳, 王加俊. 使用拼贴误差直方图的分形图像检索. *DxX*, 28(4):603~605.
- 杨红颖, 芦婷婷, 王向阳. 基于边缘网格的图像检索算法研究. *ZTu*, 11(11):1682~1685.

C5: 时空技术 (13 篇)

- 常发亮, 马丽, 刘增晓等. 复杂环境下基于自适应粒子滤波器的目标跟踪. *DX*, 34(12):2150~2153.
- 常发亮, 马丽, 乔谊正. 遮挡情况下基于特征相关匹配的目标跟踪算法. *ZTu*, 11(6):877~882.
- 侯志强, 韩崇昭. 视觉跟踪技术综述. *ZX*, 32(4):603~617.
- 贾静平, 柴艳妹, 赵荣椿. 一种健壮的目标多自由度 Mean Shift 序列图像跟踪算法. *ZTu*, 11(5):707~713.
- 江淑红, 汪沁, 张建秋等. 基于目标中心距离加权和图像特征识别的跟踪算法. *DX*, 34(7):1175~1180.
- 李华, 都思丹, 鲁凡等. 基于非线性降维算法的视频序列

特征提取及图像重建. *MR*, 19(5):645~651.

- 刘志明, 韦巍. 基于均值变换的 Particle Filter 实时跟踪算法. *MR*, 19(6):825~830.
- 马丽, 常发亮, 乔谊正. 基于均值漂移算法和粒子滤波算法的目标跟踪. *MR*, 19(6):787~793.
- 吴琼玉, 周东翔, 蔡宜平. 基于图像序列的虚拟场景重建和漫游. *ZTu*, 11(1):113~118.
- 徐一华, 李京峰, 贾云得. 人体三维运动实时跟踪与建模系统. *ZX*, 32(4):560~567.
- 薛峰, 丁晓青. 基于形状匹配变形模型的三维人脸重构. *DX*, 34(10):1896~1899.
- 于林森, 张田文. 基于视觉与标注相关信息的图像聚类算法. *DX*, 34(7):1265~1269.
- 张天序, 翁文杰, 冯军. 三维运动目标的多尺度智能递推识别新方法. *ZX*, 32(5):641~658.

D: 技术应用 (共 143 篇)

D1: 硬件、系统和快速算法 (20 篇)

- 耿立红, 孙才红, 李长松. 基于 FPGA 的空间太阳望远镜图像相关算法实现. *DX*, 34(1):147~151.
- 郭天天, 卢焕章. 基于 FPGA 的序列图像能量累加. *XC*, 22(5):694~696.
- 郭秀江, 朱秀昌. 三维视频编码中的整数 3D-DCT 变换和量化. *XC*, 22(1):78~81.
- 胡伏原, 张艳宁, 李映等. 多摄像头协同感知系统的设计与实现. *ZTu*, 11(12):1849~1853.
- 李波, 孟庆磊, 姚春莲等. 基于通用 DSP 的多路视频编码器的优化实现. *DX*, 34(11):2103~2108.
- 刘海鹰, 张兆杨, 沈礼权. 基于 FPGA 的 H.264 变换量化的高性能的硬件实现. *ZTu*, 11(11):1636~1639.
- 刘鹏飞, 刘志, 安平等. H.264/AVC 解码器优化的研究. *ZTu*, 11(11):1627~1630.
- 刘微, 朱明, 李向荣. 四 DSP 实现运动模糊图像的实时恢复. *DxX*, 28(11):2022~2025.
- 刘政林, 邹雪城, 向祖权等. 定标器的设计与实现. *DX*, 34(1):185~188.
- 刘志健, 王蓉, 刘玉玲等. 基于 VTK 的医学图像系统研究. *CT*, 15(2):38~42.
- 卢国勋, 孙军, 周军. 基于 DM642 的 MPEG-2 传输流解复用再复用系统设计. *ZTu*, 11(11):1605~1609.
- 梅魁志, 郑南宁, 刘跃虎等. 一种高效流水低存储的 JPEG2000 编码芯片设计. *DxX*, 28(4):741~746.
- 孟占红, 赵保军. 基于 DSP 的实时图像压缩软件优化技术研究. *DX*, 34(9):1558~1561.
- 曲志刚, 王化祥, 靳世久. 数字化生物电阻抗成像系统. *DC*, 20(4):10~14.
- 时永刚, 周渝斌, 赵跃进. 实时电子数字稳像系统并行处理的快速实现. *DxX*, 28(7):1174~1178.

- 王东升,李在铭. 基于FPGA的实时视频运动背景补偿校正技术. DC,20(5):68~72.
 - 熊承义,侯建华,田金文等. 嵌入式块编码的快速算法和结构. TX,27(7):53~60.
 - 徐美华,吴明,周杰. 一种高效的CABAC解码器硬件结构设计. ZTu,11(11):1588~1591.
 - 张弛,于世洁,尤政. 高分辨率双快门模式CMOS图像传感器控制电路的设计与仿真. TX,27(8):155~159.
 - 章品正,舒华忠,杨冠羽等. 二维Tchebichef正交矩反变换的快速算法. JX,29(4):648~651.
- D2:通信、视频传输(35篇)**
- 陈杰,张文军,杨小康等. 基于卡尔曼滤波的H.264头信息量估计及其在帧级码率控制中的应用. ZTu,11(11):1640~1644.
 - 陈玉,魏振宇,张旭东等. 一种适用于无线视频传输I帧的稳健容错算法. ZTu,11(4):474~479.
 - 单承赣,李晓莉. 基于SPECK和Turbo码的鲁棒图像传输. ZTu,11(1):134~140.
 - 杜建超,肖嵩,吴成柯等. 一种有效降低误差扩散的数据分割方法. DX,34(10):1823~1827.
 - 高佳,胡波. 压缩图像传输中基于小波-空间域联合估计的差错隐藏算法. ZTu,11(11):1529~1533.
 - 郭秀江,朱秀昌. 基于模糊聚类和网格变形的自适应时空差错掩盖方法. DxX,28(8):1447~1451.
 - 郭秀江,朱秀昌. 一种基于HVS、模糊聚类和遗传算法的视频差错掩盖方法. XC,22(6):791~795.
 - 胡栋,刘峰,朱秀昌. 实时多模式无线视频传输原型系统的实现. TX,27(10):106~112.
 - 胡银元,王进,张大庆等. 一种基于宏块的MPEG2高效自适应空间掩盖方法. SC,21(2):159~162.
 - 黄天云. 一类MPEG-4FGS流视频传输的质量定义及算法. JX,29(5):751~759.
 - 姜东,李波,李炜等. 基于ZIG-ZAG交织的H.264/AVC容错编码算法. DX,34(11):1941~1945.
 - 姜东,李炜,李波等. 容错视频编码与传输技术研究. ZTu,11(6):778~786.
 - 姜钦华,刘志,张兆杨等. 基于H.264-SS与FGS结合无漂移比特流切换方案. ZTu,11(11):1570~1573.
 - 李蓉,沈炜,汪泳霞等. 二次编码对数字电视图像质量的影响. ZTu,11(11):1574~1577.
 - 刘晓颖,戴琼海,刘晓冬. 智能集成VBR MPEG视频流量预测模型. DX,34(5):833~836.
 - 马佳,支琤,宋利. 联合拥塞控制与H.264容错编码的视频传输. ZTu,11(11):1506~1510.
 - 庞林娟,郁梅,蒋刚毅等. 基于H.264的立体视频右图像整帧丢失错误隐藏算法. ZTu,11(11):1584~1587.
 - 彭强,邓云,杨天武等. 一种通用的视频传输端到端失真度估算方法. ZTu,11(6):792~797.
 - 尚书林,杜清秀,卢汉清. 一种低复杂度H.264宏块级码率控制算法. JX,29(6):914~919.
 - 宋春霞,熊红凯,余松煜等. 基于可分级编码基本层的码率控制方法. ZTu,11(11):1631~1635.
 - 宋晓炜,滕建辅,李桂苓等. 任意帧结构MPEG-2到MPEG-4FGS视频流转换编码算法. XC,22(6):863~868.
 - 唐田野,刘钊. 基于内容复杂度的视频编码码率控制. DxX,28(6):1115~1119.
 - 唐田野,于鸿洋,刘钊. 低码率应用中的一种视频码率控制方法. XC,22(6):920~923.
 - 王升辉,裘正定. MPEG-4视频流量多重分形建模. TX,27(10):44~50.
 - 王永芳,余松煜,杨小康. 用于H.264的Turbo码非均等译码保护策略. SC,21(3):350~353.
 - 修晓宇,卓力,沈兰荪. 一种基于PID控制器的H.264比特率转码方案. DX,34(6):1062~1065.
 - 杨高波,余圣发,张兆杨. 压缩域H.264视频转换编码及其关键技术分析. TX,27(10):124~131.
 - 杨进,刘定生. 一种检测与校正JPEG数据传输错误的新方法. ZTu,11(3):435~440.
 - 杨天武,彭强,邓云等. 一种基于率失真优化的关键参考帧选择算法. DX,34(7):1241~1245.
 - 殷玮玮,梅中辉,吴乐南. 低复杂度的图像信源-信道联合译码算法. DxX,28(12):2301~2304.
 - 俞怡炜,关景火,王兴东等. 一种流量可控的JPEG2000网络解码方法. ZTu,11(11):1596~1599.
 - 张建龙,吴成柯,肖嵩等. 一种空域可分级的自适应视频码流控制方法. DxX,28(3):390~395.
 - 周宁兆,宋彬,常义林. 基于H1264/AVC的视频通信抗分组丢失方法研究. JX,29(2):267~273.
 - 周智恒,谢胜利. 基于自适应鲁棒性光流的差错掩盖. DxX,28(10):1888~1891.
 - 周智恒,谢胜利. 新的自适应MRF-MAP视频序列误差掩盖. DX,34(4):628~633.
- D3:文档(16篇)**
- 方平,孟明,吴仲城等. 基于字形信息和书写力信息的在线签名鉴别. MR,19(1):1~6.
 - 郭剑雄,杨力华. 一种基于衬线去除德英文印刷多字号字符分割算法. MR,19(6):702~707.
 - 何希平,李云峰,朱庆生. 彩色文档图像的倾斜自动校正算法. ZTu,11(3):367~371.
 - 蒋人杰,戚飞虎,徐立等. 基于连通分量特征的文本检测与分割. ZTu,11(11):1653~1656.
 - 靳简明,江红英,王庆人. 数学公式识别系统:MatheReader. JX,29(11):2018~2026.
 - 靳简明,王华,丁晓青. 维汉英混排文档识别. DxX,28(7):1188~1191.
 - 李闯,丁晓青,吴佑寿. 一种基于直方图特征和AdaBoost

- 的图像中的文字定位算法. ZTu,11(3):325~331.
- 李国宏,施鹏飞. 基于笔段结构的手写体数字字符笔顺顺序信息重构. MR,19(2):232~237.
 - 毛剑飞,杨旭华,田贤忠. 基于自适应神经网络的胎盘超声图像自动分级研究. ZTu,11(7):965~970.
 - 饶晓波,邹北骥. 一种基于块邻接图的手写体文本格线删除及笔画重构算法. ZTu,11(4):549~554.
 - 王恺,史广顺,王庆人. 欧洲文字识别方法研究. MR,19(4):491~496.
 - 王胜军,梁德群. 一种基于图像方向信息测度算法的自适应表格图像增强算法. ZTu,11(1):60~65.
 - 文浩,马金盛,王玉慧等. 基于形态学灰度重构的乳腺微钙化点提取. CT,15(2):33~37.
 - 夏勇,王春恒,戴汝为. 基于自适应特征与多级反馈模型的中英文混排文档分割. ZX,32(3):353~359.
 - 岳思聪,王庆,赵荣椿. 一种基于词片识别的字符分割算法. ZTu,11(1):8~12.
 - 赵骥,李晶皎,张广渊等. 脱机手写满文文本识别系统的设计与实现. MR,19(6):801~805.
- D4:生物、医学(15篇)**
- 蔡轶珩,沈兰荪,刘长江. 新型中医舌象分析仪关键技术研究. DX,34(4):713~716.
 - 查代奉,邱天爽. 基于多层小波分解与稳定分布的超声图像散粒噪声抑制新方法. ZS,25(1):35~40.
 - 邓梁,史仪凯,袁小庆. 一种基于图像分割的视频眼震图记录新方法. ZS,25(5):523~526.
 - 段会龙,邓宁. 基于图像的微阵列生物芯片分析. ZS,25(6):780~785.
 - 李传富,周康源,吴月娥等. 基于配准方法的颅脑CT图像病变信息自动提取算法. ZS,25(1):19~24.
 - 李名庆,高新波,许晶. 多尺度塔型医学图像增强算法. ZS,25(2):178~181.
 - 吕晓琪,刘建勋,赵建峰. 基于Windows平台的DICOM医学影像显示技术研究. ZS,25(4):417~420.
 - 阙昊,钱晋武,张震. 基于肠道轮廓的结肠镜视觉导航. ZTu,11(1):82~88.
 - 孙立宁,张剑,杜志江等. 一种骨科手术机器人的图像导航方法. ZX,32(2):279~285.
 - 汤春明,赵春晖. 神经元干细胞图像的全自动分割与追踪. ZS,25(1):46~50.
 - 汤乐民,汤敏,张琦等. 基于分维数的NRF促大鼠DRGs神经突起生长显微图像分析. ZTi,11(1):9~12.
 - 王伟智,刘秉瀚,施作霖. 基于HSV空间的肿瘤免疫组化阳性目标自动提取分析. ZTi,11(1):13~17.
 - 余续刚,周付根. 基于图像跟踪的呼吸运动分析. ZTi,11(1):22~26.
 - 张新峰,沈兰荪. 加权SVM在中医舌象分类与识别中的应用研究. ZS,25(2):230~233.
 - 周卫平,於文雪,舒华忠. 基于3D方向可控制滤波器的MRA脑血管检测. DX,34(7):1333~1336.
- D5:遥感、雷达、测绘(40篇)**
- 蔡红苹,蒋咏梅,粟毅. 一种基于区域生长原理的油库目标聚类定位方法. YX,10(3):415~420.
 - 曹广真,金亚秋. 用于Landsat ETM+和ERS-2 SAR图像融合对城区地物特征分类的BP-ANN/GA混合算法. Dxx,28(7):1153~1159.
 - 丛浩,张良培,李平湘. 一种端元可变的混合像元分解方法. ZTu,11(8):1092~1096.
 - 铨建宏,田庆久,吴昭昭. 遥感影像阴影多波段检测与去除理论模型研究. YX,10(2):151~159.
 - 胡晓新,王岩飞,秦蕾. 基于提升小波的SAR原始数据压缩算法. Dxx,28(5):919~922.
 - 胡晓新,王岩飞. 基于小波包变换的SAR原始数据压缩. Dxx,28(8):1476~1479.
 - 黄倩,麻丽香,张冰尘等. 干涉相位图的各向异性扩散方程滤波算法. Dxx,28(11):1998~2002.
 - 黄昕,张良培,李平湘. 高空间分辨率遥感图像分类的SSMC方法. ZTu,11(4):529~534.
 - 金添,周智敏,常文革等. UWB SAR低信杂比环境下时频表示成像方法研究. Dxx,28(6):973~976.
 - 李小娟,尹连旺,宫辉力等. 土地利用扫描文件的注记自动识别与入库研究. ZTu,11(10):1439~1442.
 - 林剑,王润生,鲍光淑等. 基于空间模糊纹理光谱的多光谱遥感图像分类方法. ZTu,11(2):186~190.
 - 刘安斐,李炳程,张先飞. 基于数据融合的多特征遥感图像分类. SC,21(4):463~467.
 - 刘良云,王纪华,赵春江等. 基于地物空间信息的浮动先验概率最大似然分类研究. YX,10(2):227~235.
 - 刘旭珑,何春阳,潘耀忠等. 遥感图像分类精度的点、群样本检验与评估. YX,10(3):366~372.
 - 卢力,王勇涛,田金文等. 基于SUSAN算法的遥感图像去云. TX,27(8):160~164.
 - 马洪超,赵向东. 基于地形随机场模型的遥感图像几何纠正. CX,35(3):251~254.
 - 潘志刚,王岩飞. 一种基于小波变换的高倍数SAR原始数据压缩算法. Dxx,28(10):1798~1801.
 - 钱静,陈洋,王润生. 彩色扫描地形图中等高线提取方法的研究. ZTu,11(10):1443~1449.
 - 秦蕾,王岩飞,胡晓新. 快速可变速率SAR原始数据压缩算法. Dxx,28(2):358~361.
 - 匡向阳,薛惠锋,雷学武等. 基于分类规则挖掘的遥感影像分类研究. YX,10(8):332~338.
 - 石爱业,徐立中,杨先一等. 基于知识和遥感图像神经网络水质反演模型. ZTu,11(4):521~528.
 - 王海江,皮亦鸣,陈红艳. 结合ICA相干斑抑制的全极化SAR图像分类. DX,34(12):2185~2189.

- 王晋,张晓玲,沈兰荪等. 一种基于网格编码量化的高光光谱图像无损压缩方法. ZTu,11(1):123~127.
 - 王靖,朱梦宇,赵保军等. 基于小波和改进型 Hausdorff 距离的遥感图像配准方法. DX,34(12):2167~2169.
 - 王文光,王俊,毛士艺. 一种基于差异度的极化 SAR 图像迭代分类方法. Dxx,28(11):2007~2010.
 - 王毅,张良培,李平湘. 基于概率扩散的多光谱遥感图像分类模型. ZTu,11(5):646~651.
 - 卫征,陈正超,张兵等. CBERS-1 影像全国数字镶嵌与制图. ZTu,11(6):787~791.
 - 吴波,张良培,李平湘. 基于支撑向量回归的高光谱混合像元非线性分解. YX,10(3):312~318.
 - 吴传庆,王桥,杨志峰. 基于混合像元分解的水体遥感图像去云法. YX,10(2):176~183.
 - 吴军,张祖勋,张剑清. 基于机载视频量测的3维城市建模. ZTu,11(8):1161~1170.
 - 吴守从,陈建璋,陈朝川. 以不同分类法探讨 SPOT 与 IKONOS 两种卫星影像之分类准确度. YX,10(4):573~577.
 - 闫志强,鲍光淑,黄继先. 融合 SAR 和 TM 图像更新 GIS 道路网络数据. CX,35(1):46~52.
 - 颜锋华,金亚秋. 尺度分布的 Getis 统计对遥感图像特征参量空间自相关性的研究. ZTu,11(2):191~196.
 - 杨沈斌,李秉柏,申双和等. 基于特征保持的线性多通道最优求和 SAR 图像滤波算法. CX,35(4):364~370.
 - 张春森. 双目序列影像3维运动物体定位跟踪. CX,35(4):347~352.
 - 张晓东,李德仁,龚健雅等. 一种基于面特征的遥感影像与 GIS 数据配准方法. YX,10(3):373~380.
 - 郑明国,蔡强国,秦明周等. 一种遥感影像分类精度检验的新方法. YX,10(1):39~48.
 - 钟家强,王润生. 基于独立成分分析的多时相遥感图像变化检测. Dxx,28(6):994~998.
 - 朱兵,李金宗,陈爱军. 大尺度遥感图像中港口目标快速识别. MR,19(4):552~556.
 - 邹斌,张腊梅,孙德明等. 极化干涉合成孔径雷达图像信息提取技术的进展及未来. Dxx,28(10):1979~1984.
- D6:其他(17篇)**
- 常发亮,许有才,乔彦正. 无人值守表针实时视觉自动识别与分析方法. DC,20(2):35~38.
 - 丁瑾,王新. 基于双目计算机视觉的自适应识别算法及其监控应用. ZTu,11(11):1708~1711.
 - 关振红,朱岱寅,朱兆达. 归一化自适应预测矢量量化算法压缩 SAR 原始数据. Dxx,28(3):507~511.
 - 郭春生. 优化的区域增长 InSAR 相位解缠算法. ZTu,11(10):1380~1386.
 - 何儒云,王耀南. 一种基于小波变换的 InSAR 干涉图滤波方法. CX,35(2):128~132.
 - 胡斌,何克忠. 计算机视觉在室外移动机器人中的应用. ZX,32(5):774~784.
 - 黄世奇,刘代志. SAR 图像斑点噪声抑制方法与应用研究. CX,35(3):245~250.
 - 靳国旺,徐青,张燕等. InSAR 干涉图的零中频矢量滤波算法. CX,35(1):24~29.
 - 刘科峰,张韧,孙照渤. 基于交叉相关法的卫星云图中云团移动的短时预测. ZTu,11(4):586~591.
 - 孙晓丽,郝跃,宋国乡. IC 缺陷轮廓分形维估计的小波方法. DX,34(8):1485~1487.
 - 王俊平,郝跃. 真实缺陷的矩形模型及其关键面积计算. DX,34(11):1974~1977.
 - 王焯青,杨永跃. 机器视觉在流水线条形码识别中的应用. DC,20(6):102~105.
 - 吴海虹,张明敏,潘志庚. 织物图像的倾斜检测与纬纱密度识别. ZTu,11(5):640~645.
 - 徐夏刚,赵歆波,张定华等. 一种工业 CT 的短裂纹群扩展检测新方法. CT,15(1):51~55.
 - 杨程,孙守迁,苏焕. 楚文化保护中编钟乐舞的复原与展示. ZTu,11(10):1474~1479.
 - 郑锋宇. 用路途全景图增强地理信息系统的可视性. YX,10(3):397~408.
 - 邹阳,邓善熙,梁发云. 一种自动立体显示器立体对比度和视区检测方法. ZTu,11(4):570~574.
- E:综述评论(共7篇)**
- E1:综述(7篇)**
- 代科学,武德峰,付杨俭等. 视频挖掘技术综述. ZTu,11(4):451~457.
 - 宫鹏,黎夏,徐冰. 高分辨率影像解译理论与应用方法中的一些研究问题. YX,10(1):1~5.
 - 焦李成,孙强. 多尺度变换域图像的感知与识别:进展和展望. JX,29(2):177~193.
 - 徐光祐,史元春,肖鑫等. 中国多媒体技术研究:2005. ZTu,11(7):901~918.
 - 章毓晋,胡峰. 对《中国图象图形学报》创刊10年来文章和作者的统计分析. ZTu,11(1):1~7.
 - 章毓晋. 中国图像工程:2005. ZTu,11(5):601~623.
 - 赵黎丽,侯正信. 步态识别问题的特点及研究现状. ZTu,11(2):151~161.